

*Российский Государственный Медицинский Университет
Московский Государственный Университет*

Ю. А. Владимиров

**Физико-химические основы
патологии клетки**

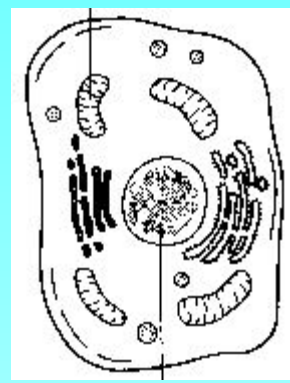
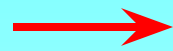
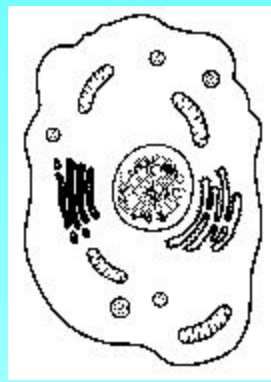
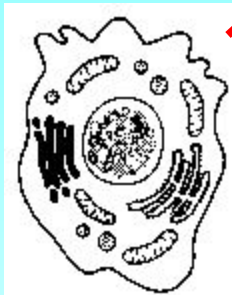
Митохондрии и апоптоз

Москва © 1999

Морфология клетки при некрозе и апоптозе

НЕКРОЗ

Норма



Сохранена форма хроматина

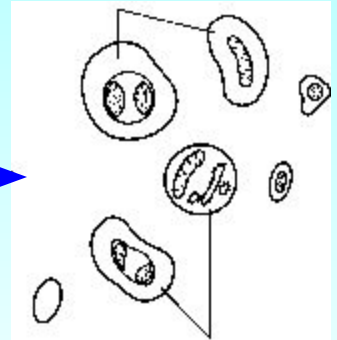
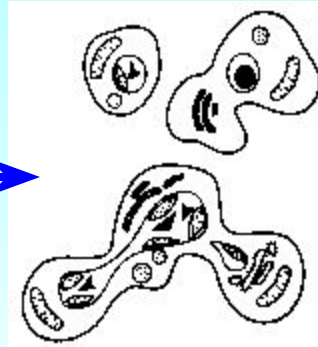
Обратимое набухание

Необратимое набухание

Дезинтеграция

АПОПТОЗ

Сохранена структура митохондрий



Ядро изменено

Intact membranes

Апоптотические тельца

Конденсация (cell blebbing)

Фрагментация

Вторичный некроз

Apoptosis in neutrophils

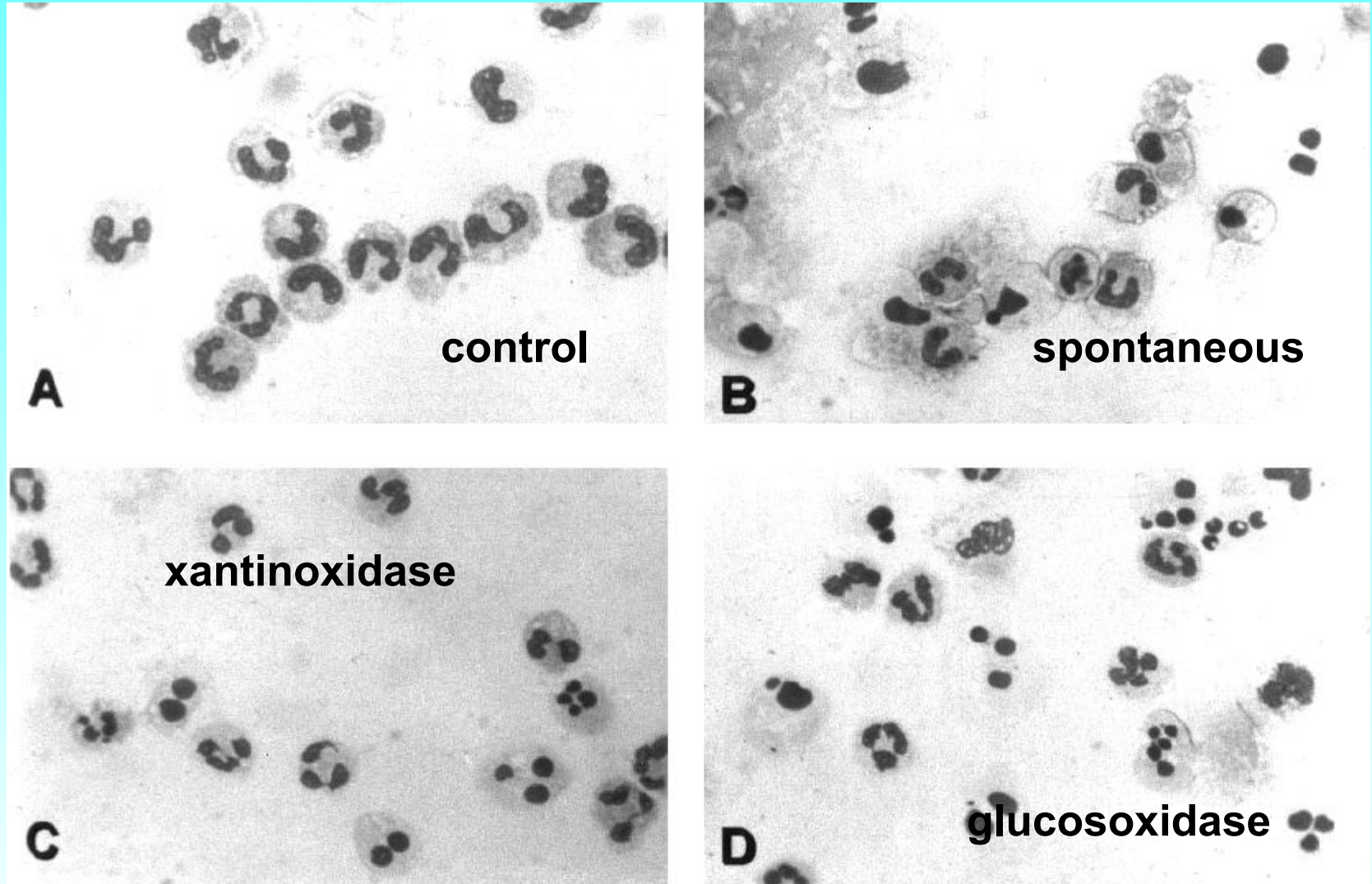
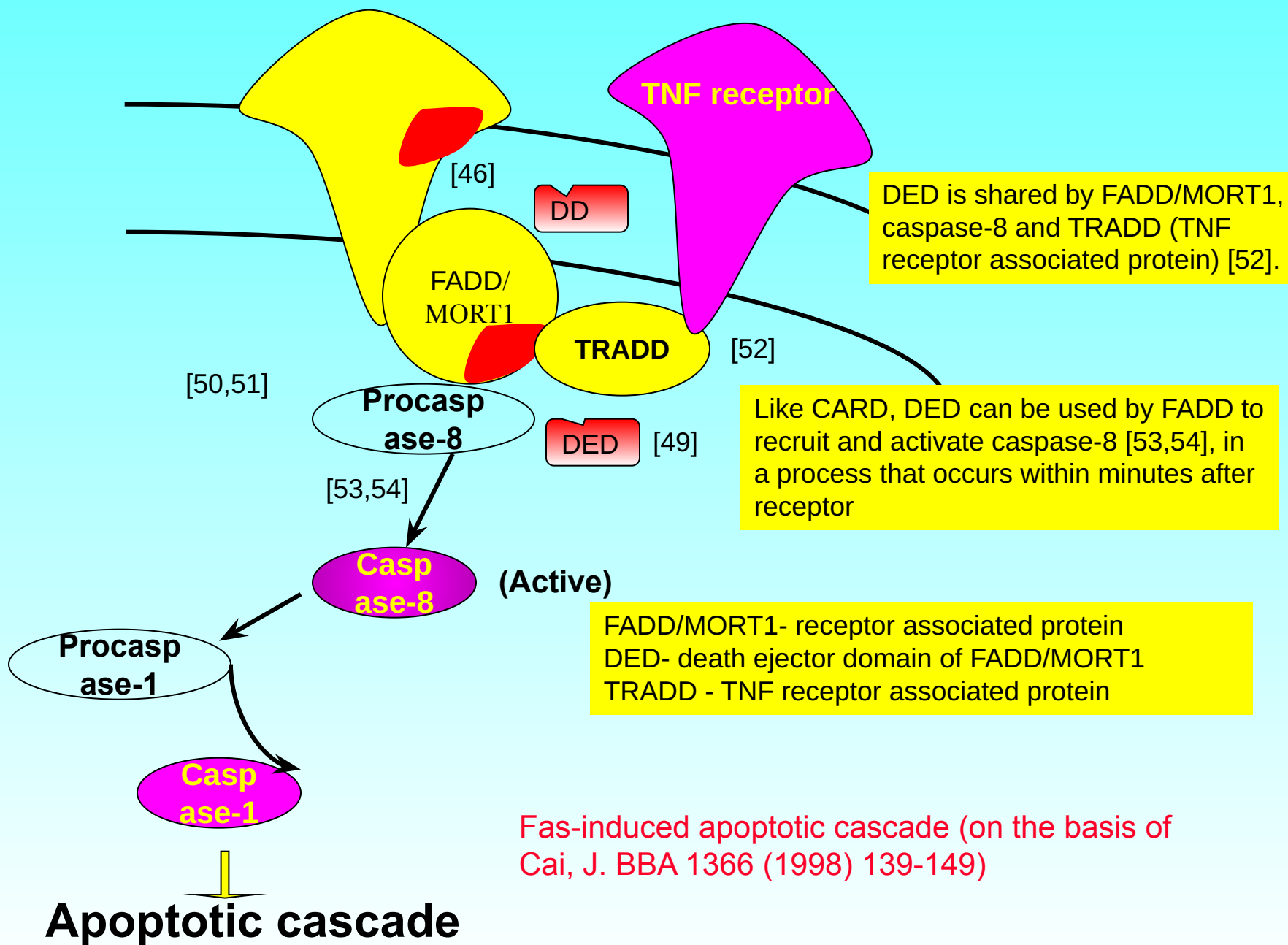
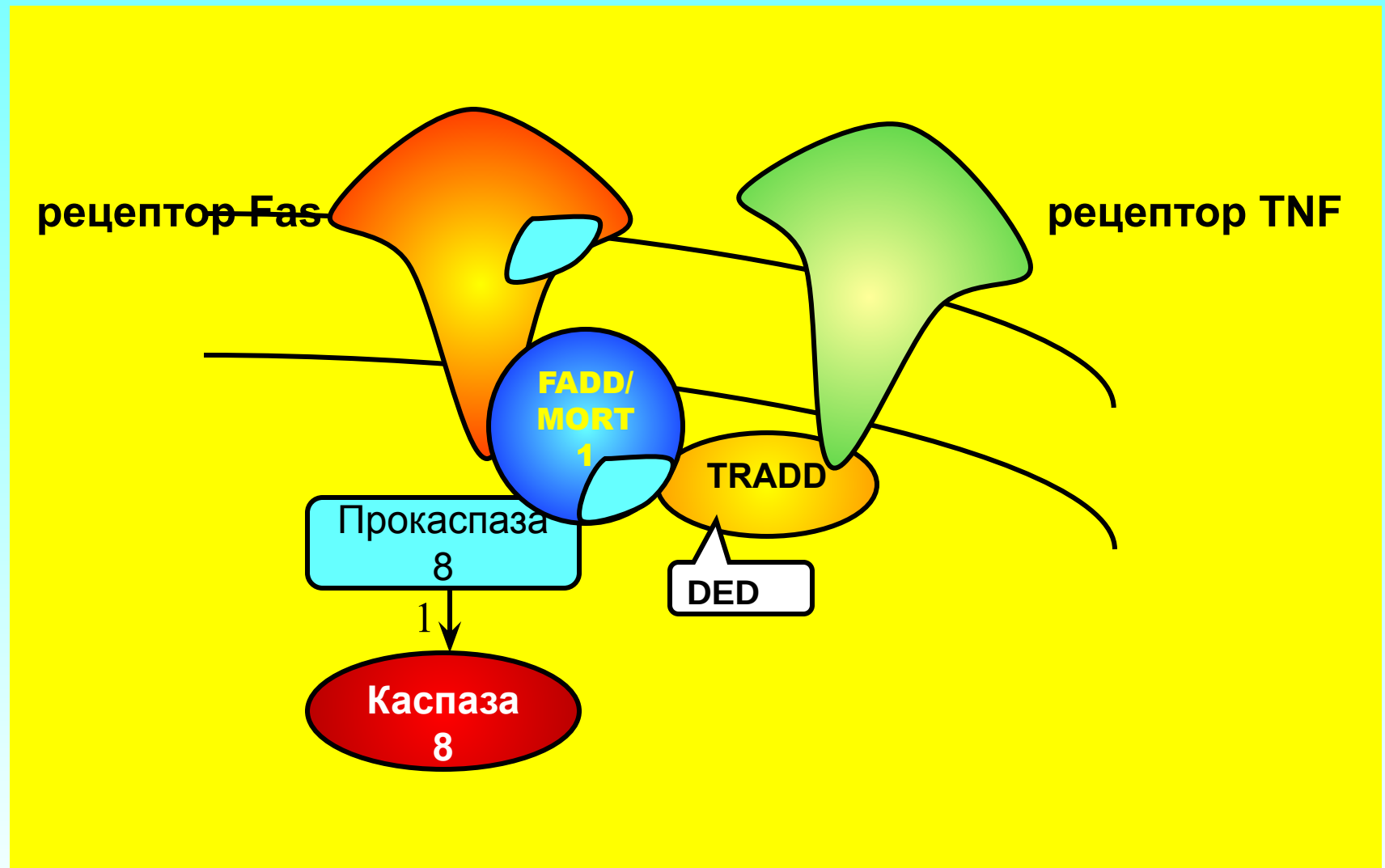


Fig. 4. Morphology of apoptotic neutrophils. 100,000 purified neutrophils were cytocentrifuged and the slides were then fixed and stained as indicated in Materials and Methods. (A) Freshly purified neutrophils; (B) purified neutrophils incubated in standard culture conditions for 22 h (spontaneous apoptosis); (C) purified neutrophils incubated with 27 mU/ml XO for 10 h; (D) purified neutrophils incubated with 5 mU/ml GO for 10 h.

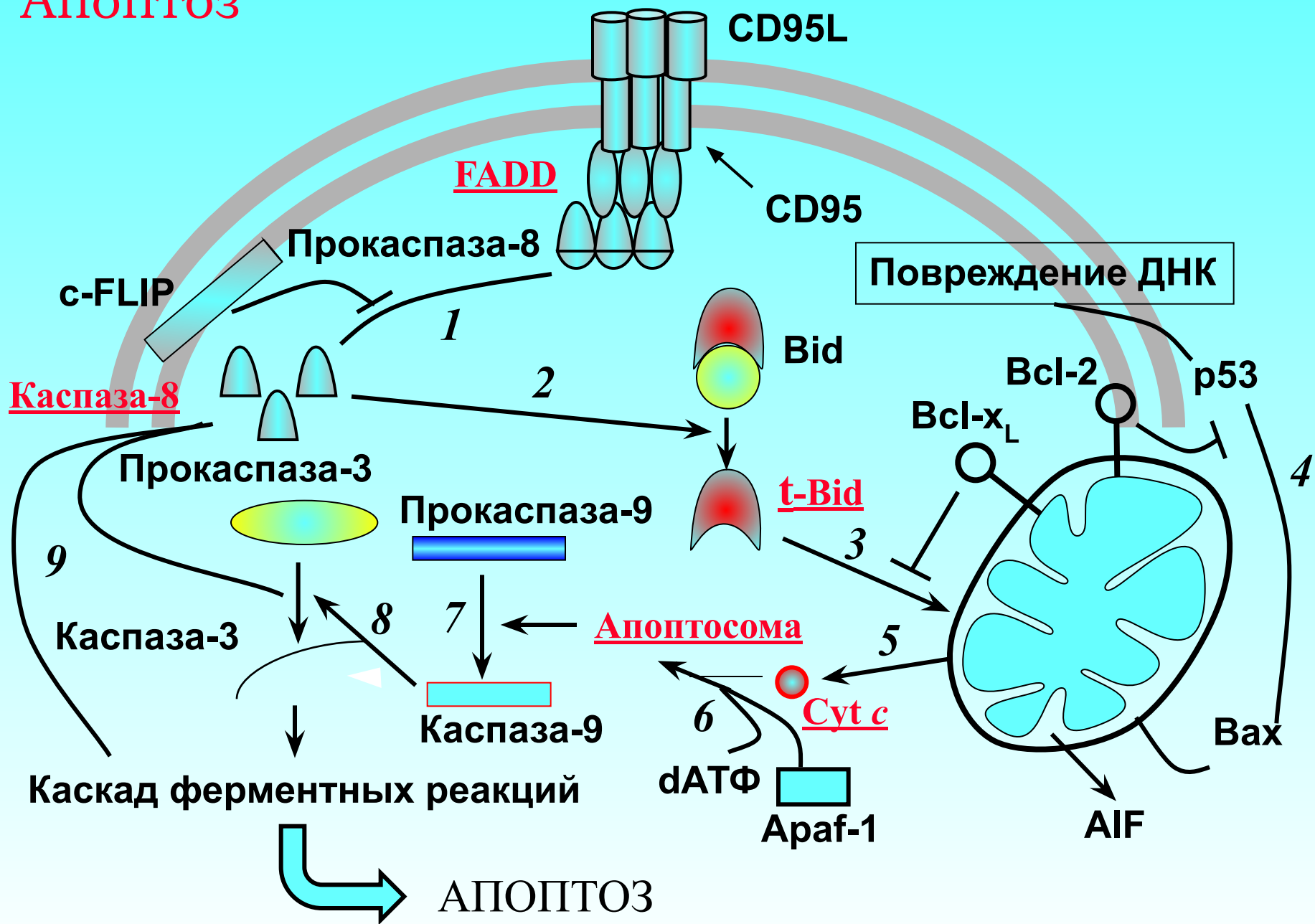
Немитохондриальный путь активации апоптоза



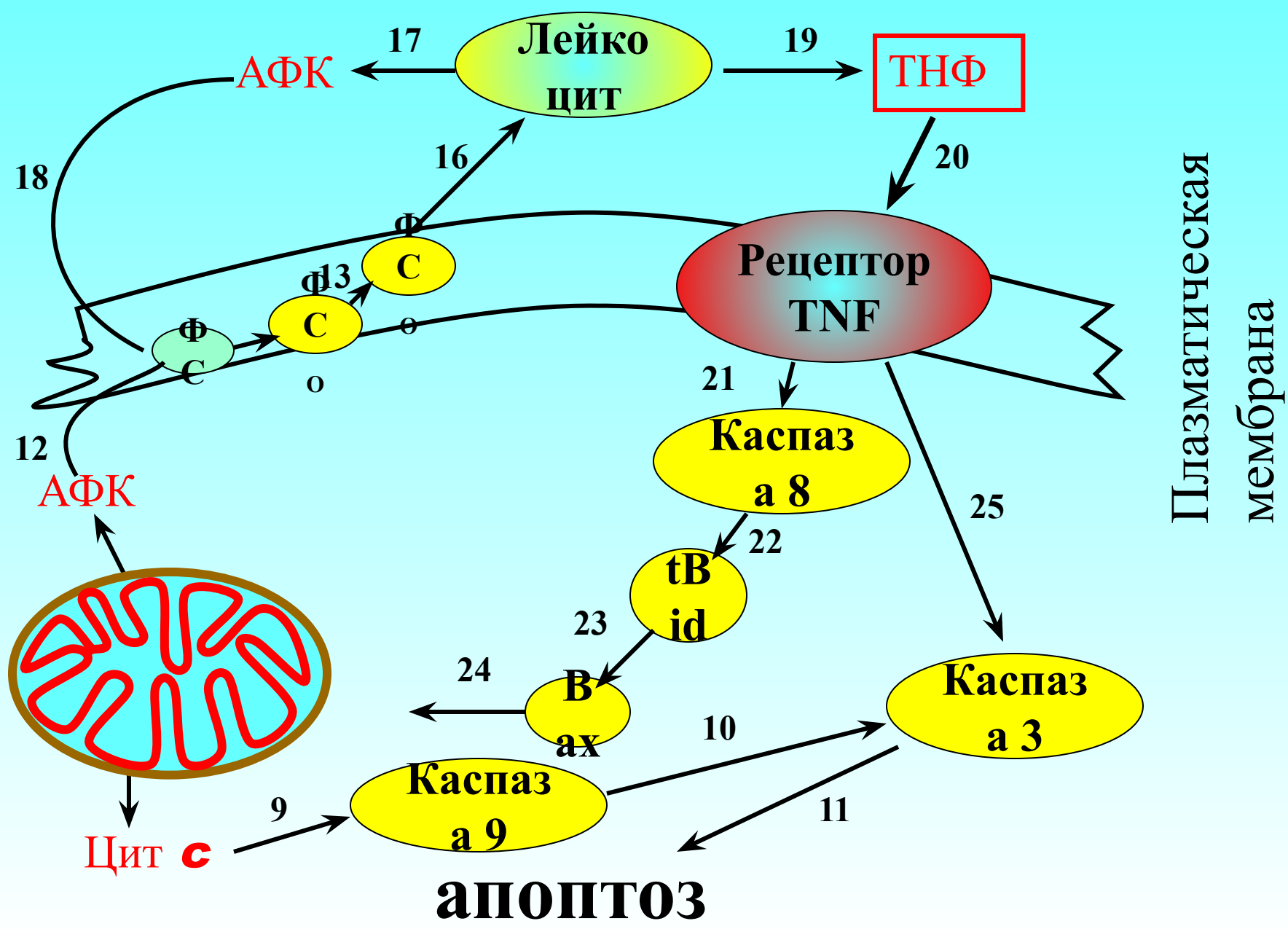
Активация каспазы 8 после связывания апоптогена с мембранным рецептором



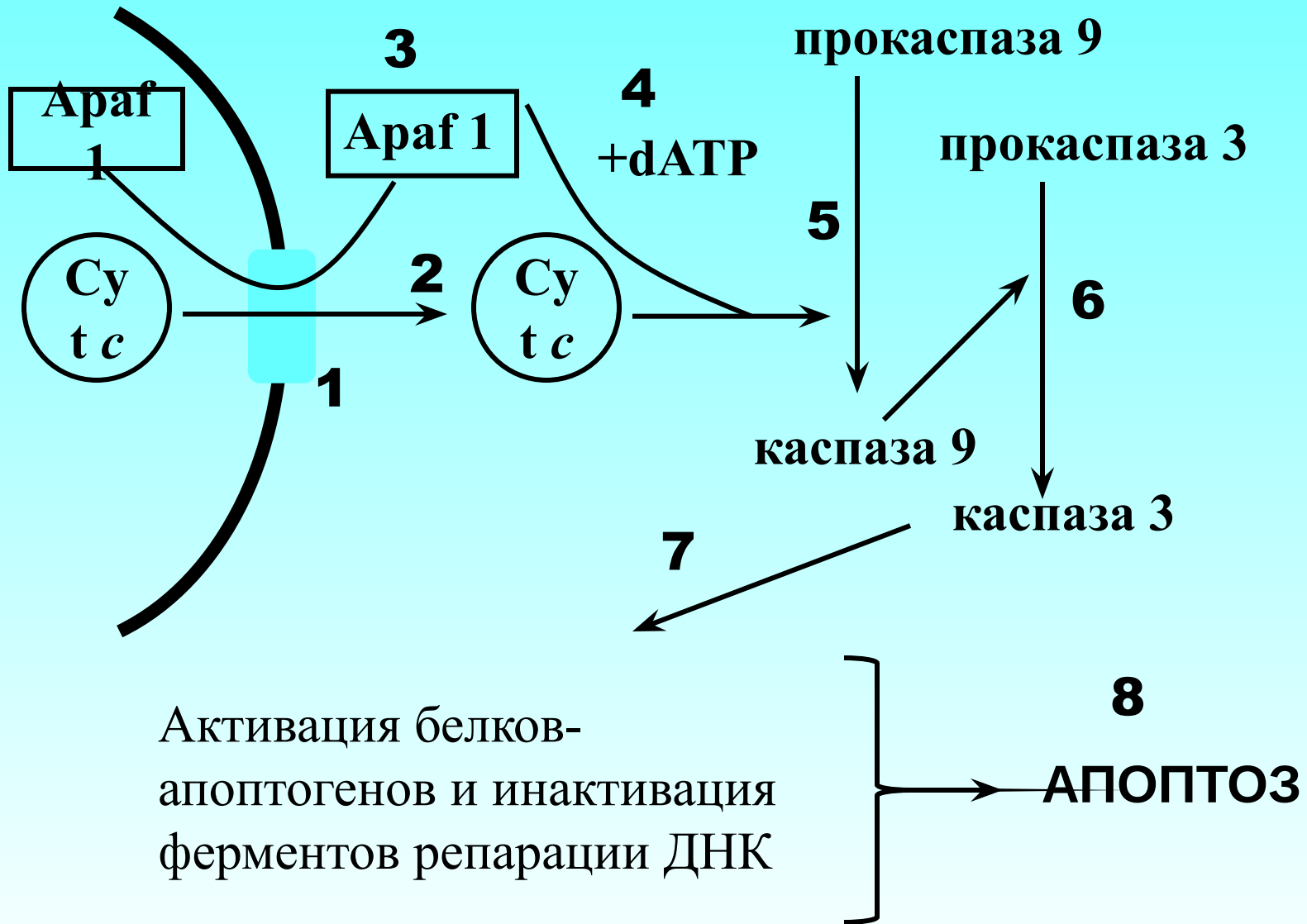
АПОПТОЗ



Передача апоптозных сигналов (по В. П. Скулачеву)



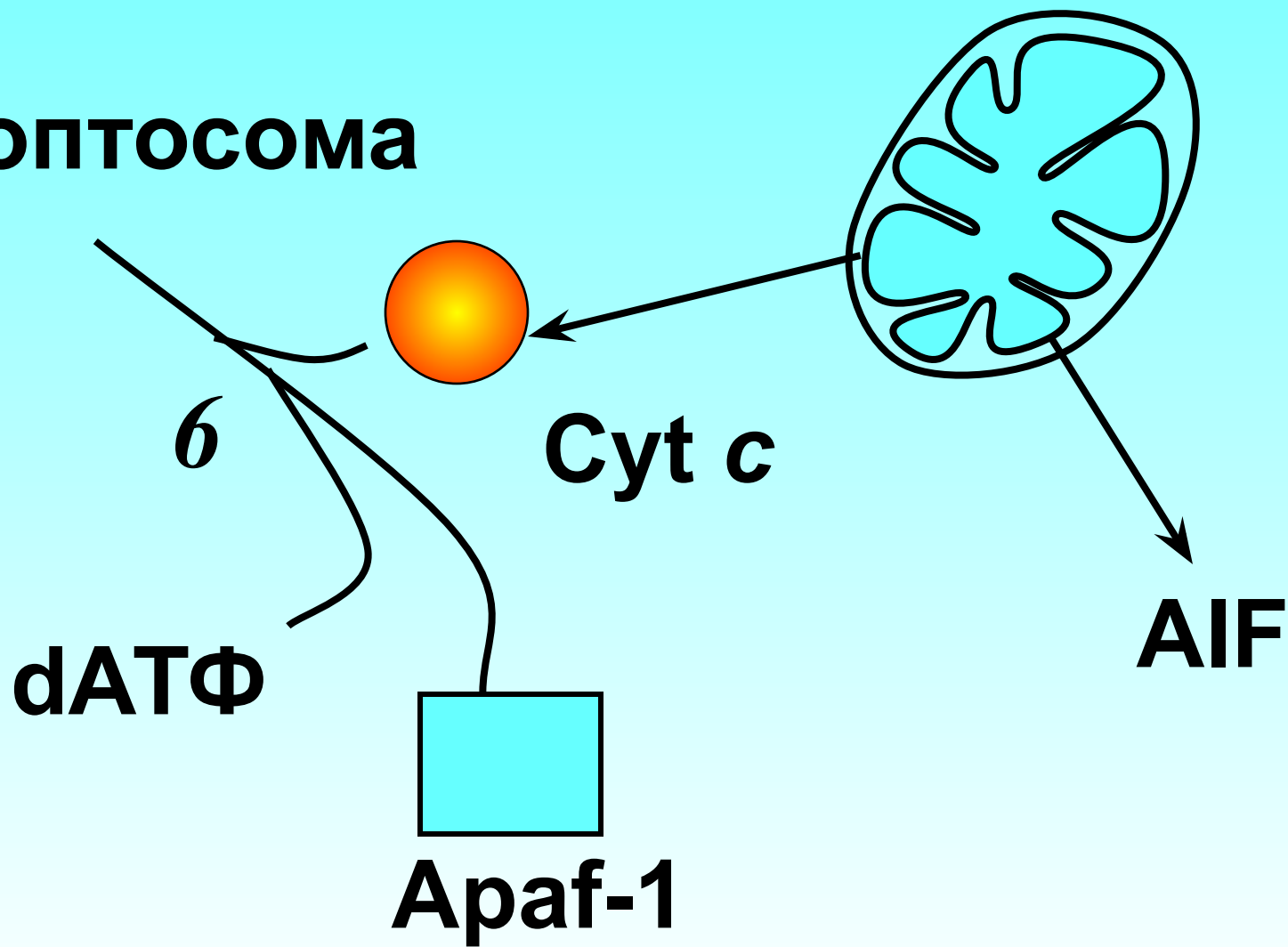
Каскад активации апоптоза, инициированный выходом цитохрома с



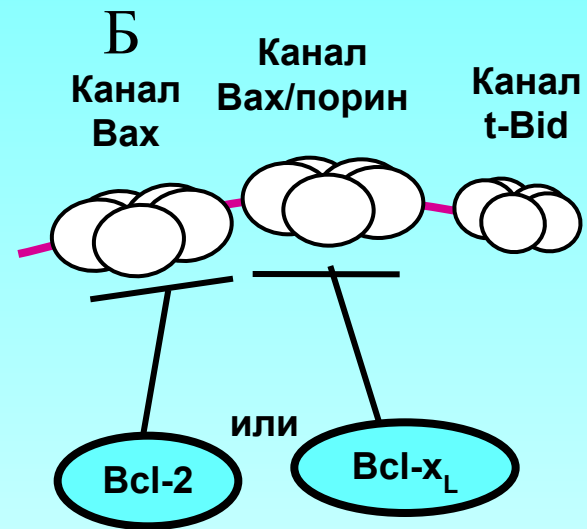
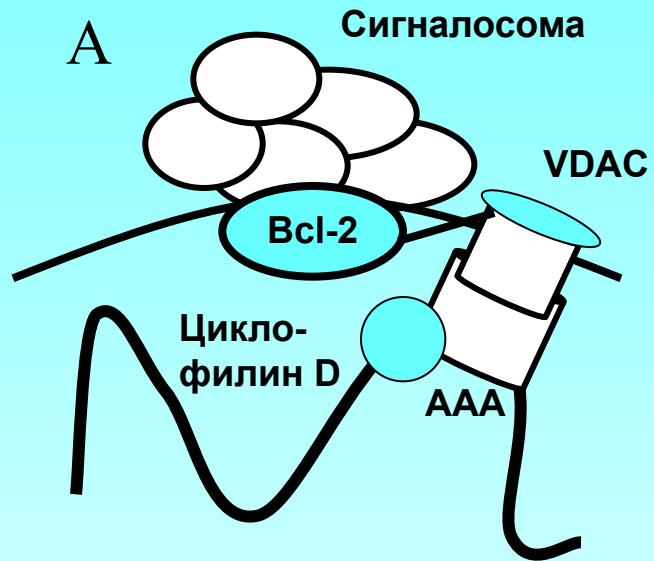
Активация белков-апоптогенов и инактивация ферментов репарации ДНК

Образование апоптосомы

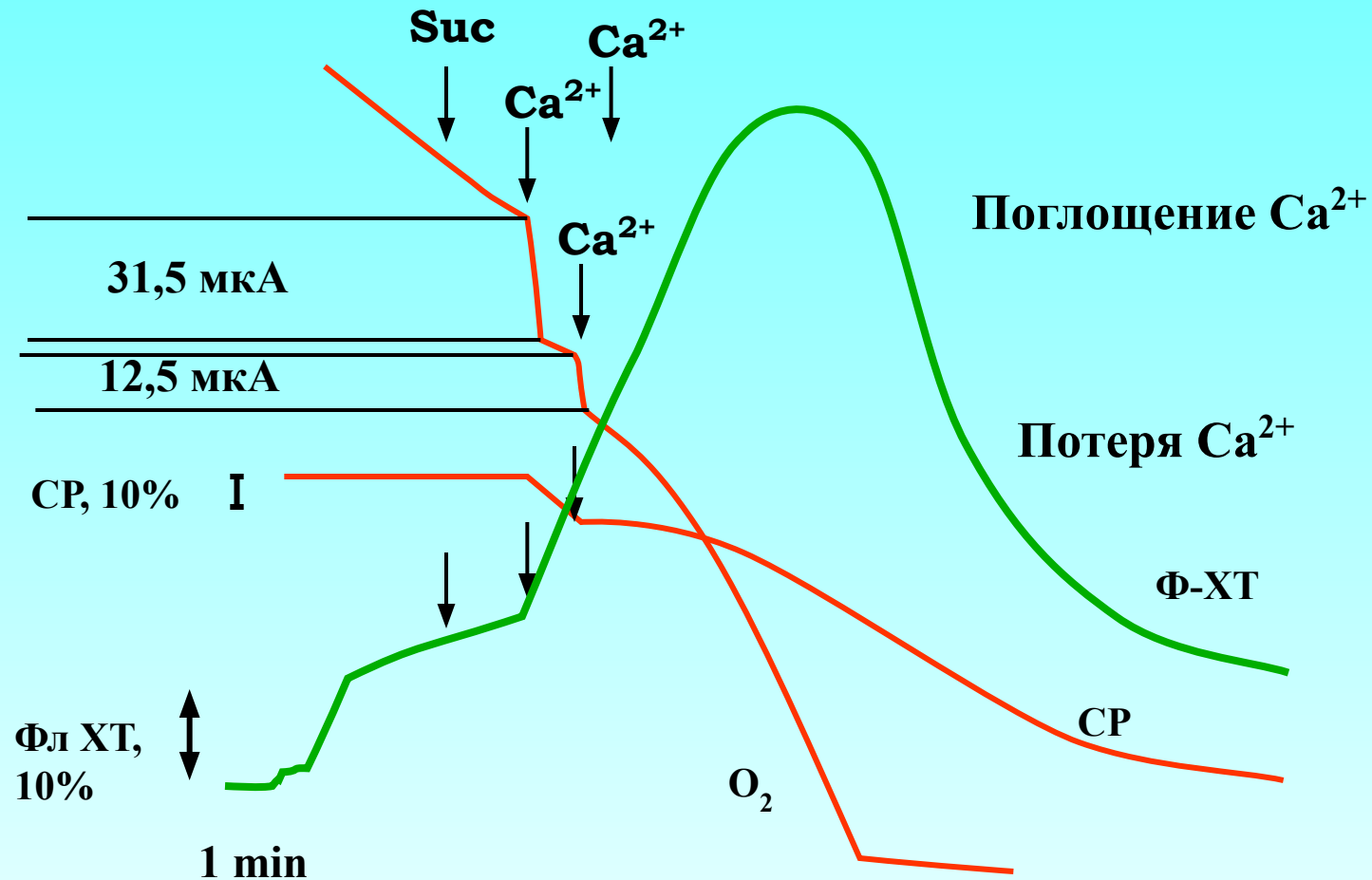
Апоптосома



Каналы в мембранах митохондрий



Изменение флуоресценции митохондрий, окрашенных тетрациклином

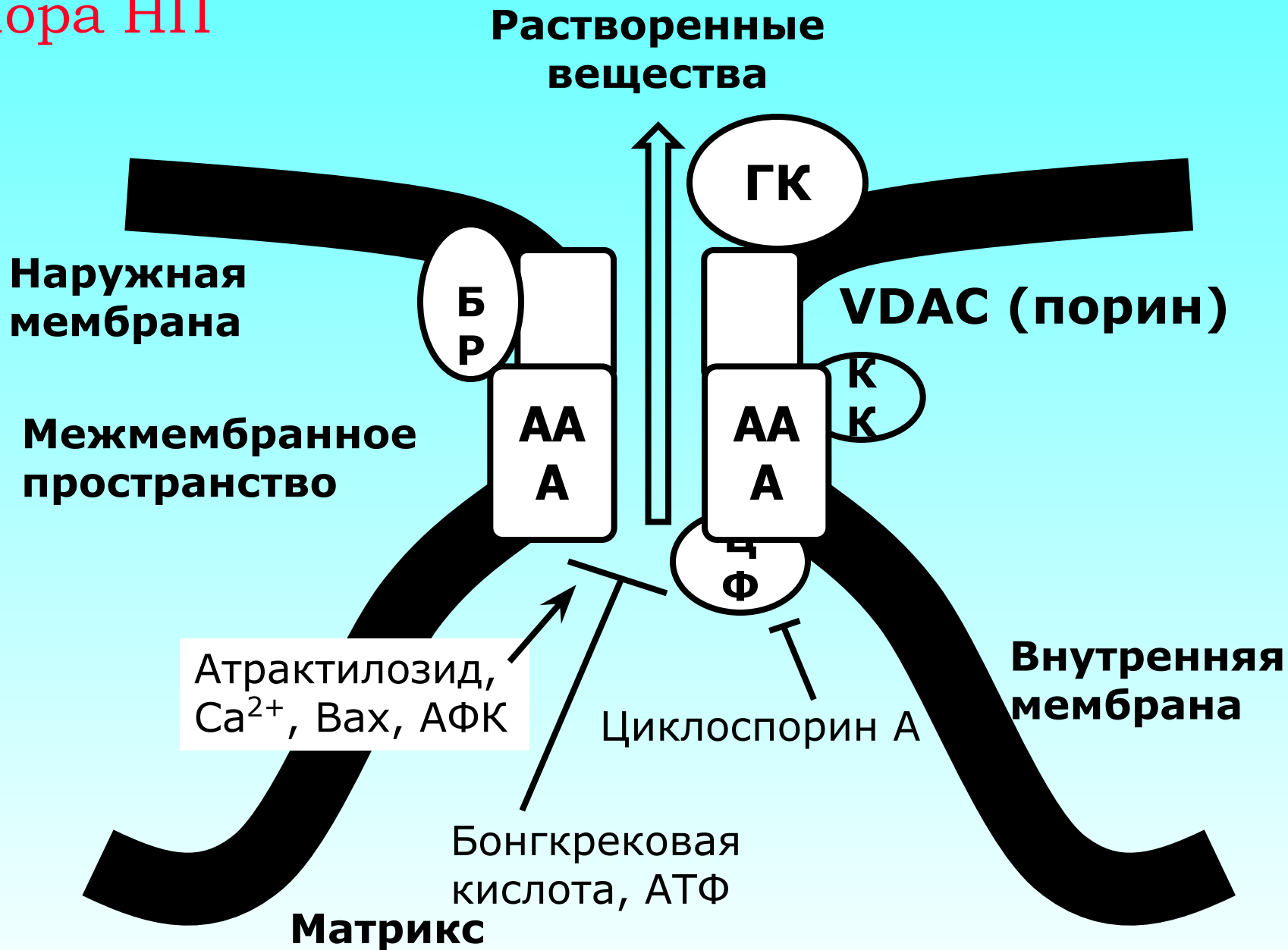


Ф-ХТ - флуоресценция хлортетрациклина

СР - светорассеяние

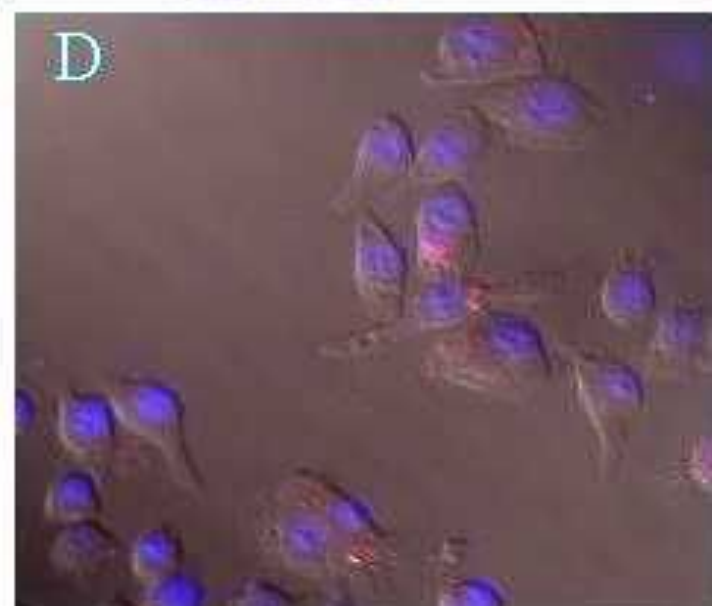
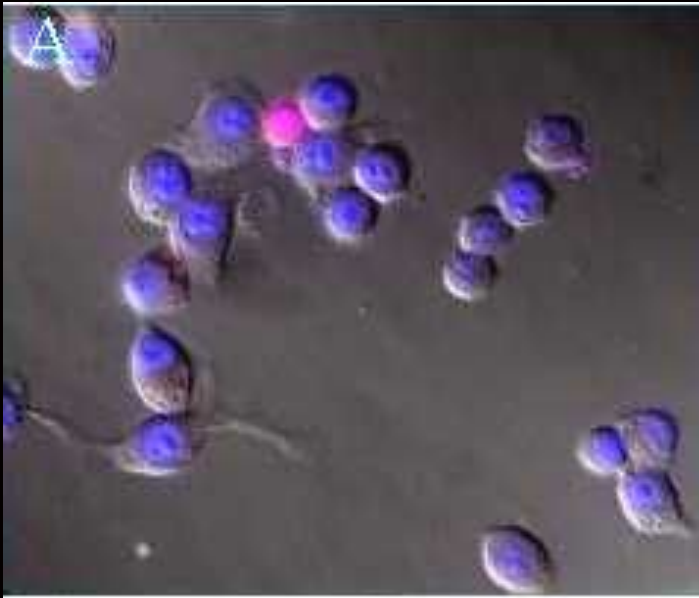
O₂ - концентрация кислорода

Пора НП

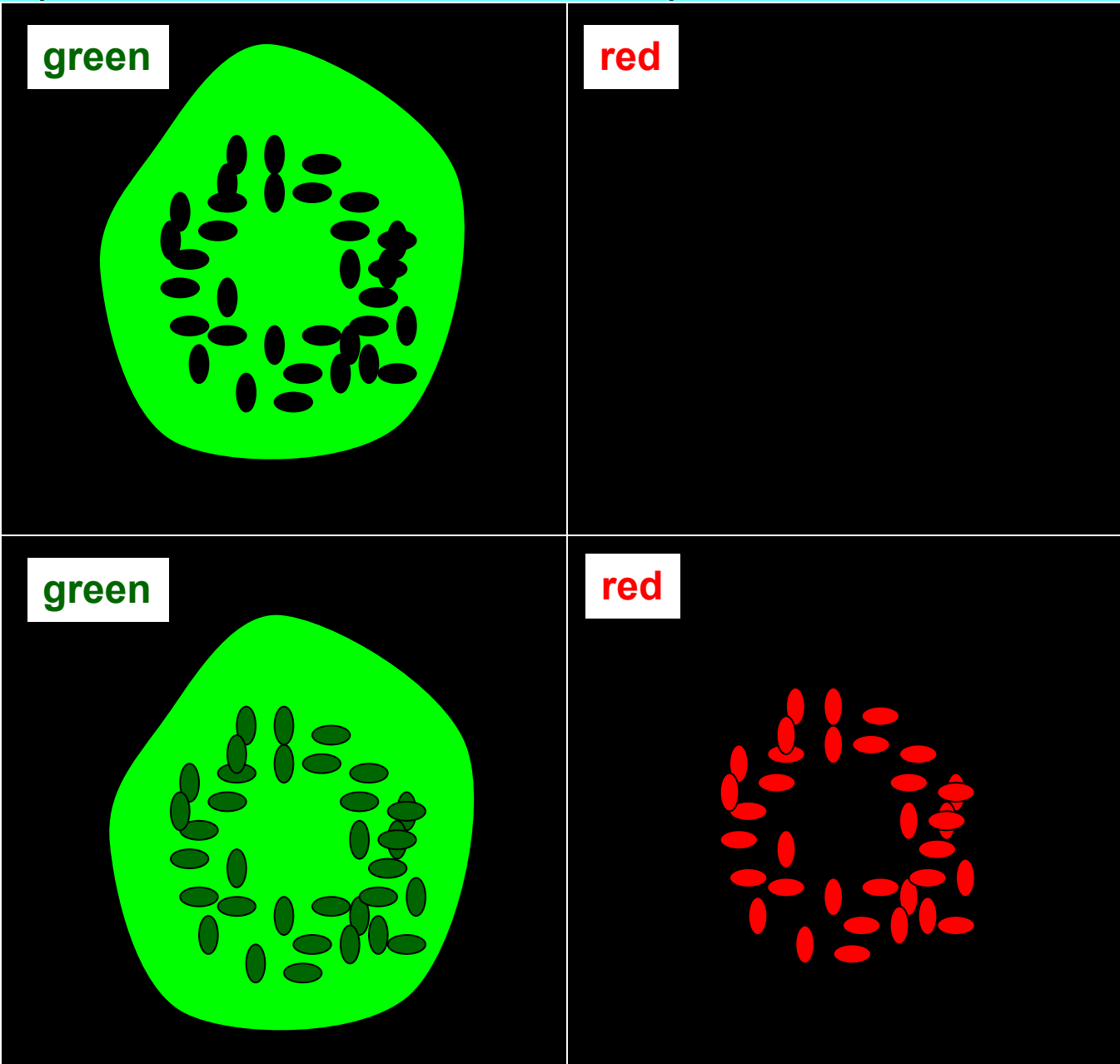


Конфокальная лазерная микроскопия

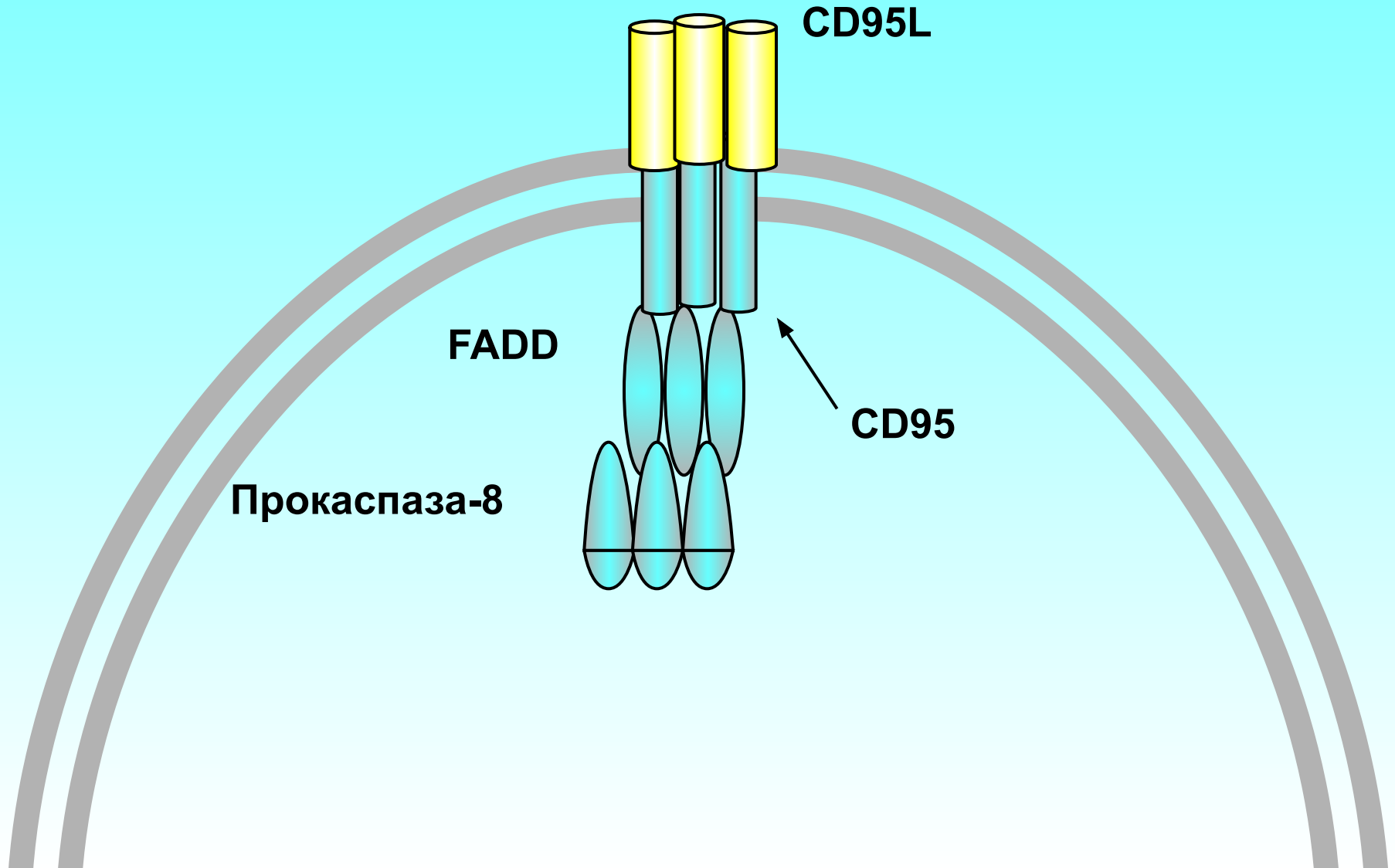
Фагоциты, вступающие в апоптоз



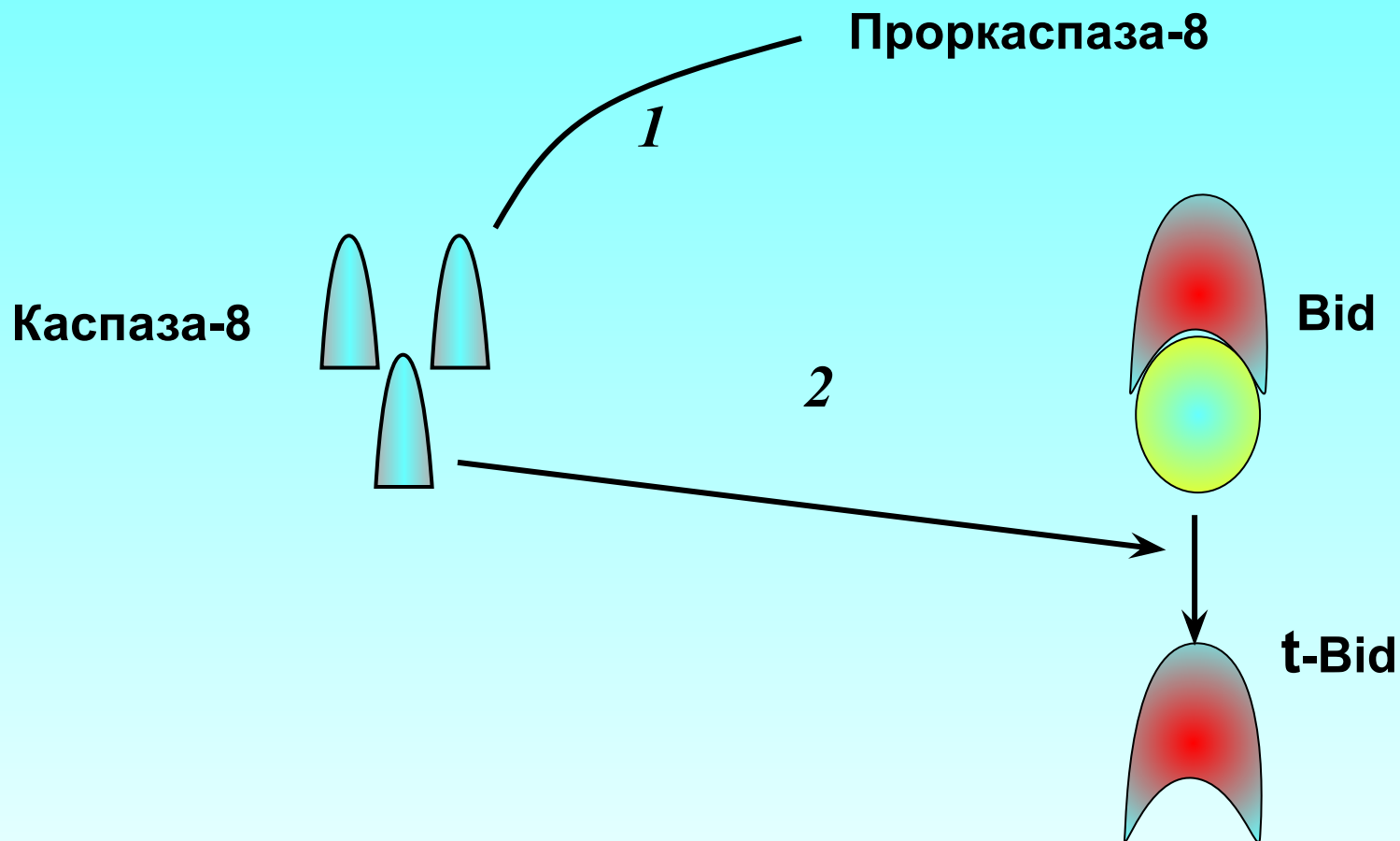
Мембранный потенциал в митохондриях живых клеток



Мембранная фаза апоптоза: связывание прокаспазы 8

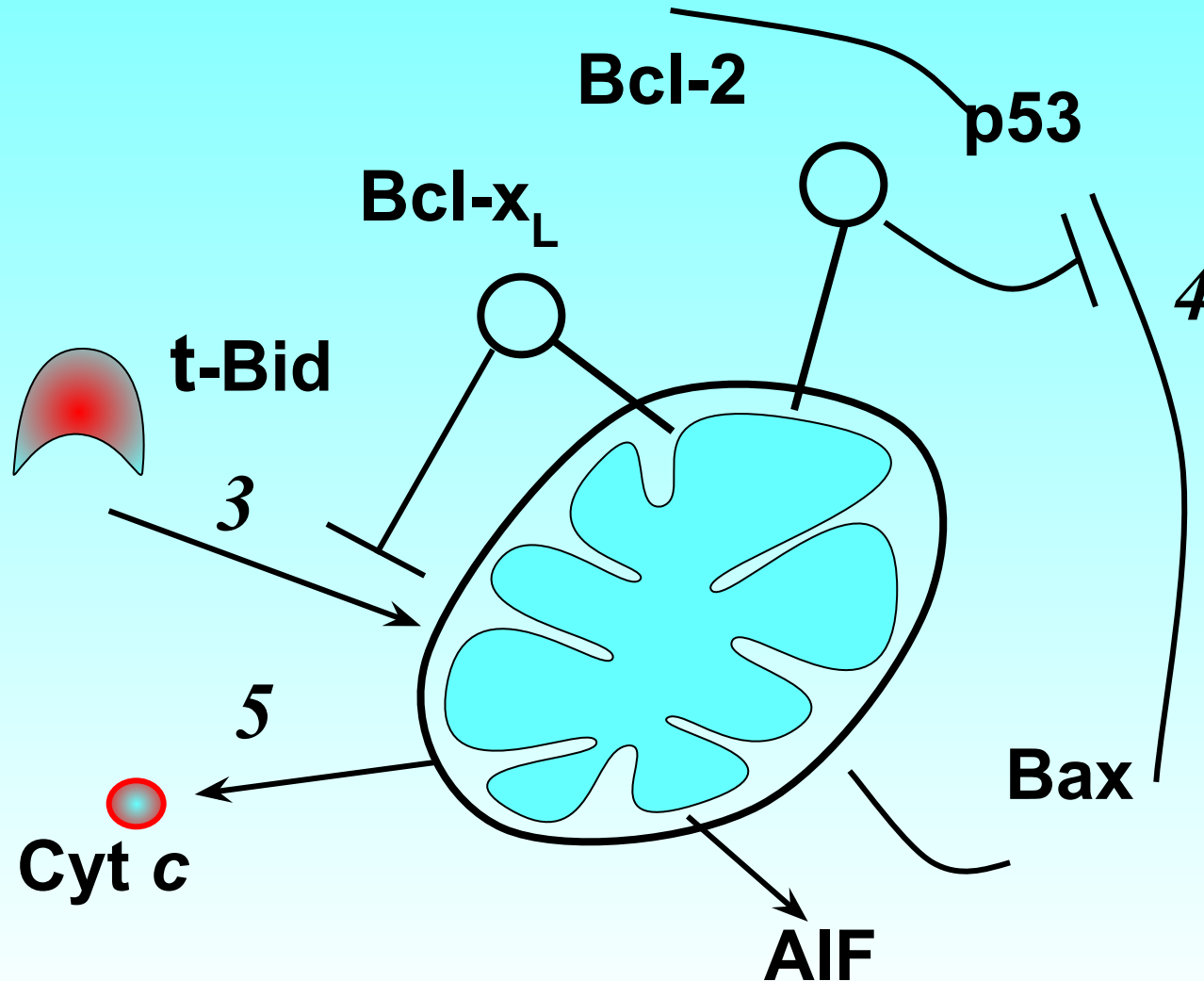


Подготовка к активации митохондрий



Выход цитохрома c из митохондрий

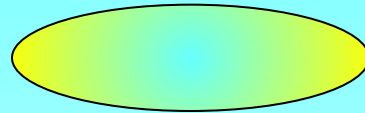
Повреждение ДНК



Апоптозный каскад реакций каспаз 3 → 9

Прокаспаза-3

Прокаспаза-9



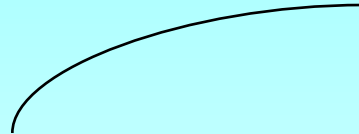
← **Апоптосома**

Каспаза-3

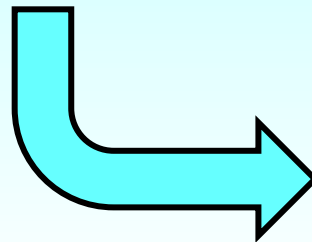
Каспаза-9

8

7

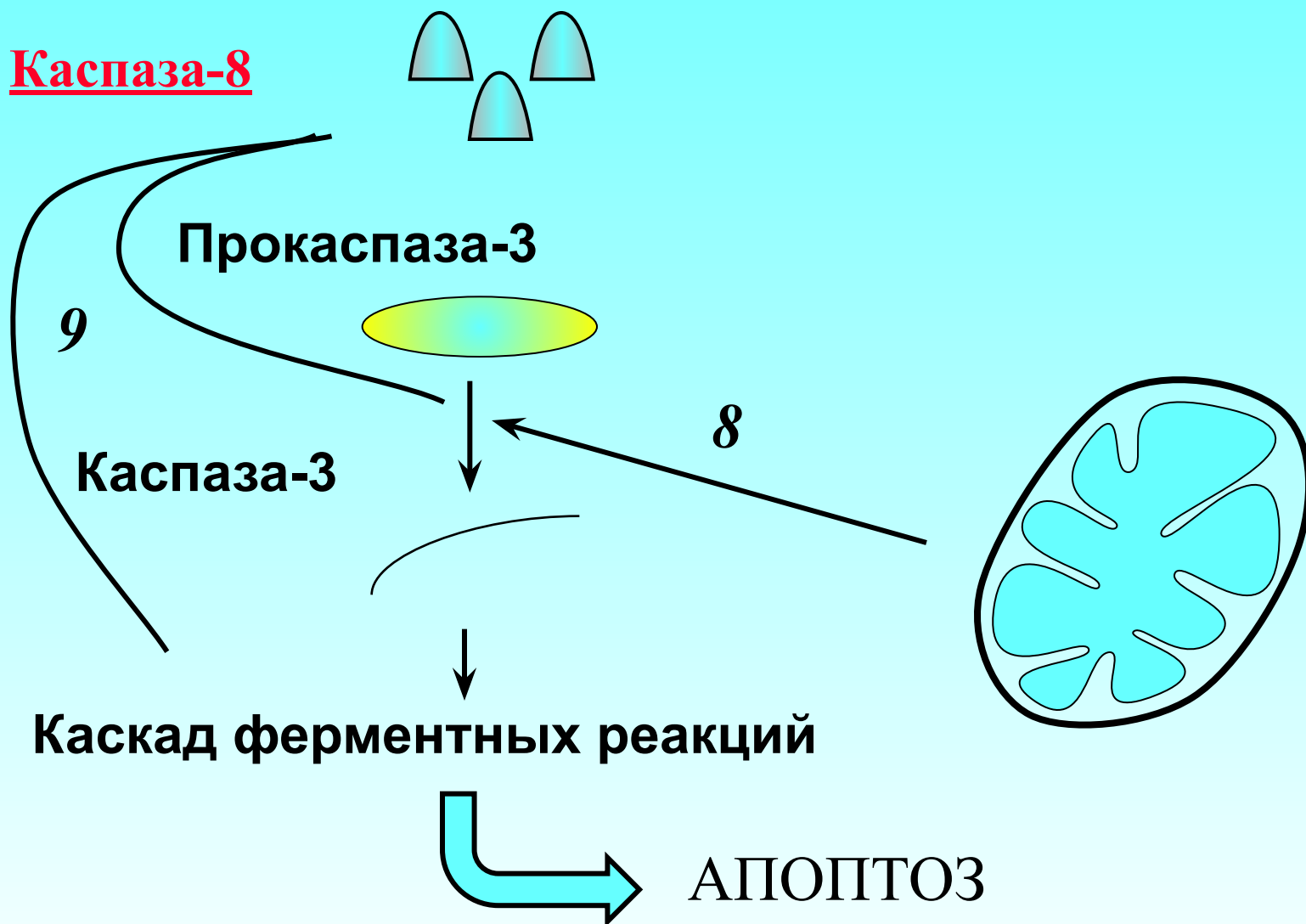


Каскад ферментных реакций

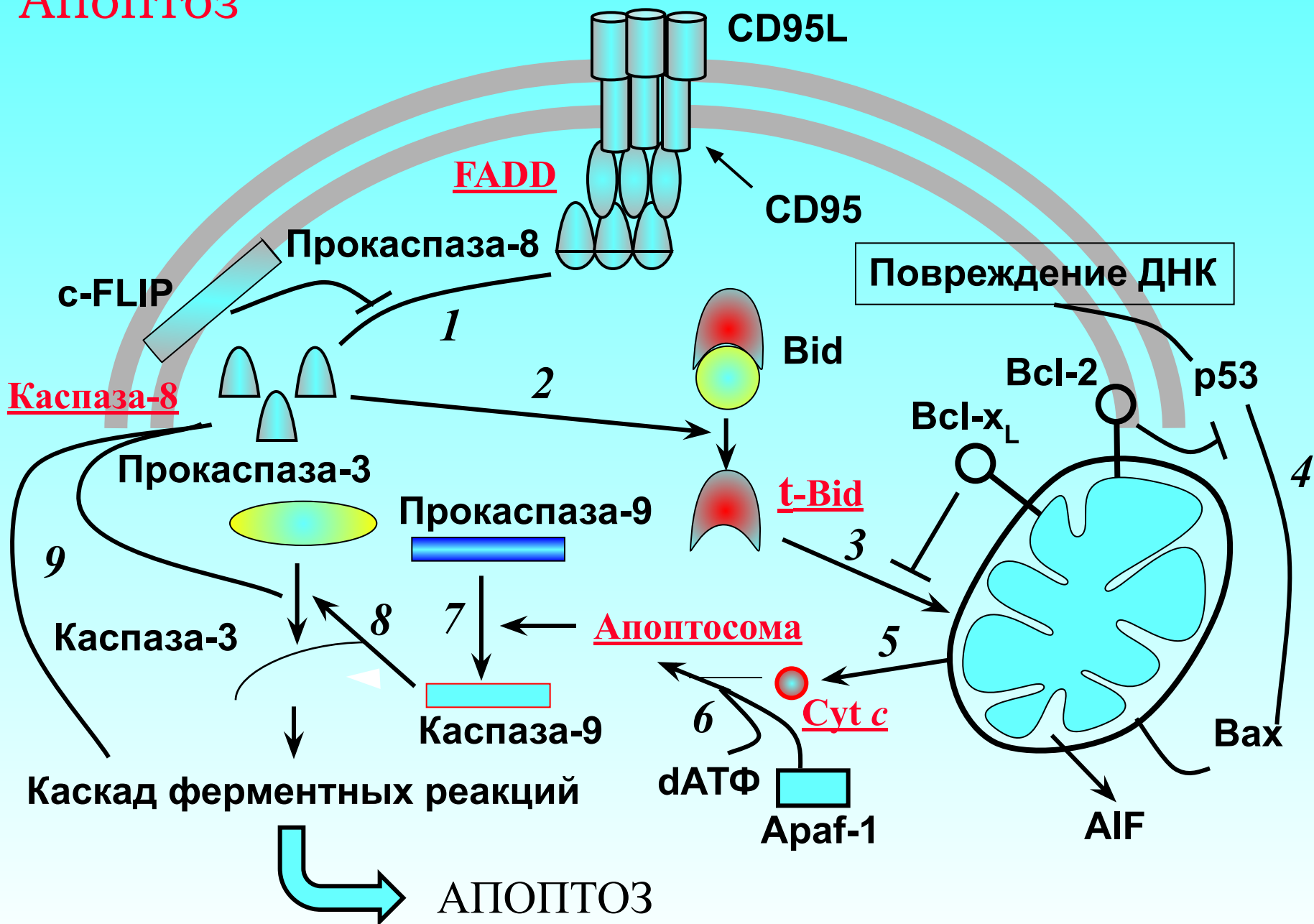


АПОПТОЗ

Вне-митохондриальная активация апоптоза



АПОПТОЗ

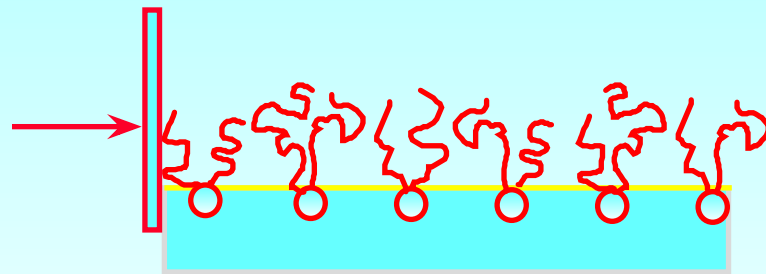


*Российский Государственный Медицинский Университет
Московский Государственный Университет*

Ю. А. Владимир

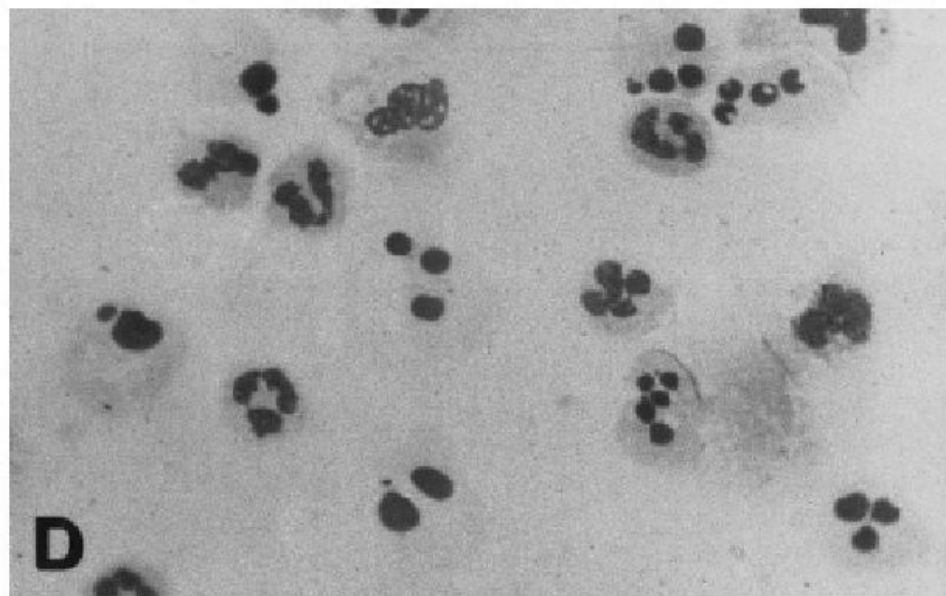
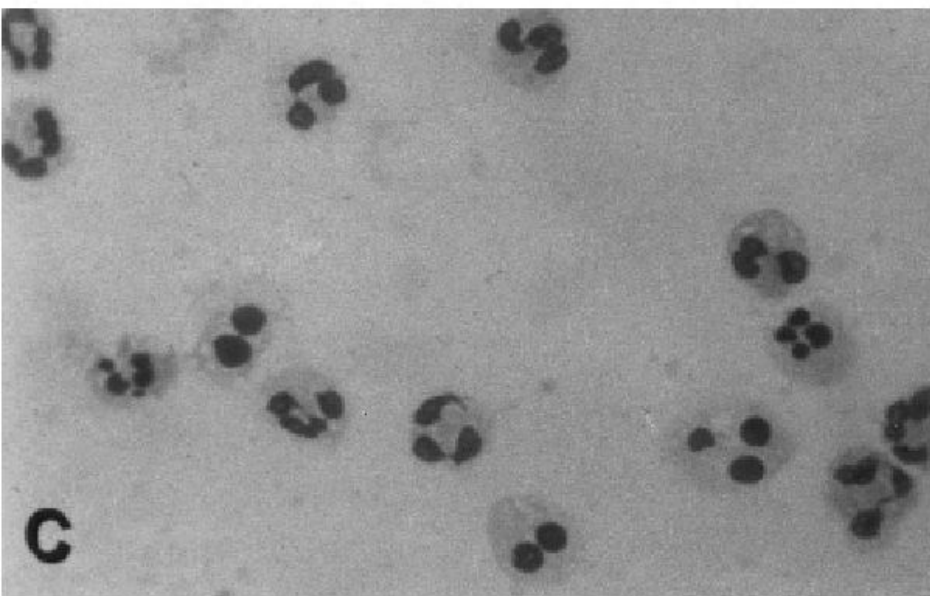
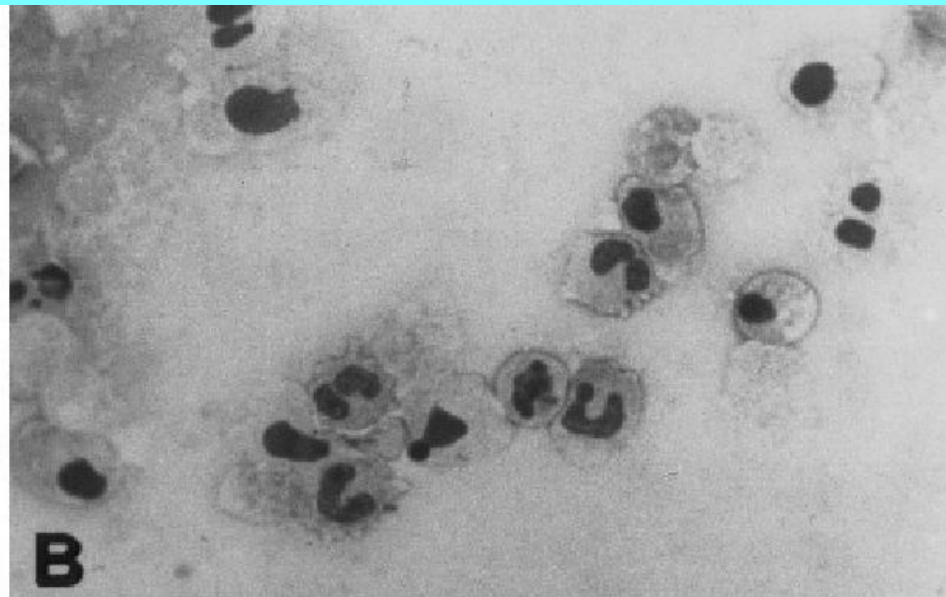
**Физико-химические основы
патологии клетки**

АФК и апоптоз



Москва © 2003

Морфология нейтрофилов при апоптозе



Апоптоз, вызываемый активными формами кислорода

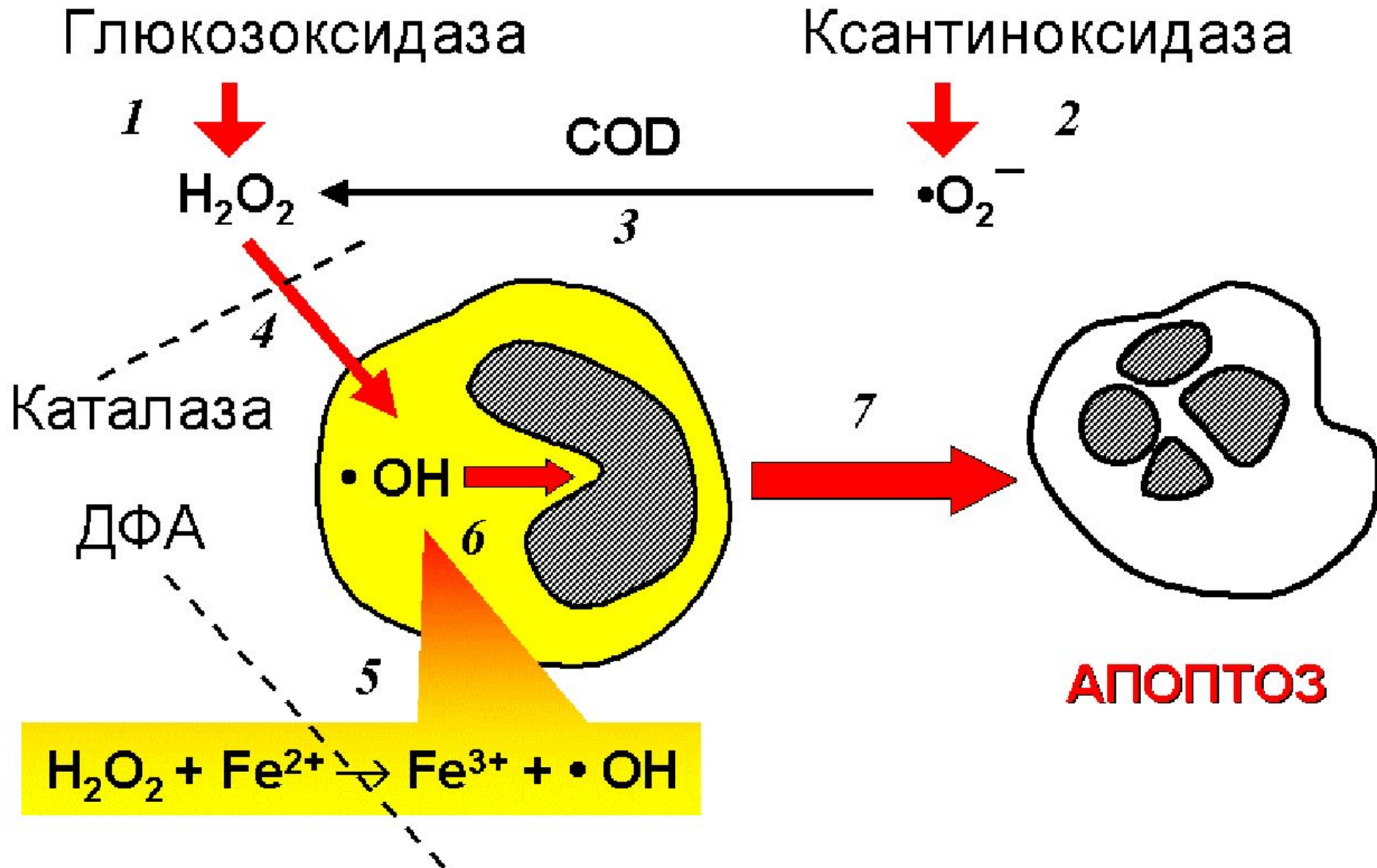
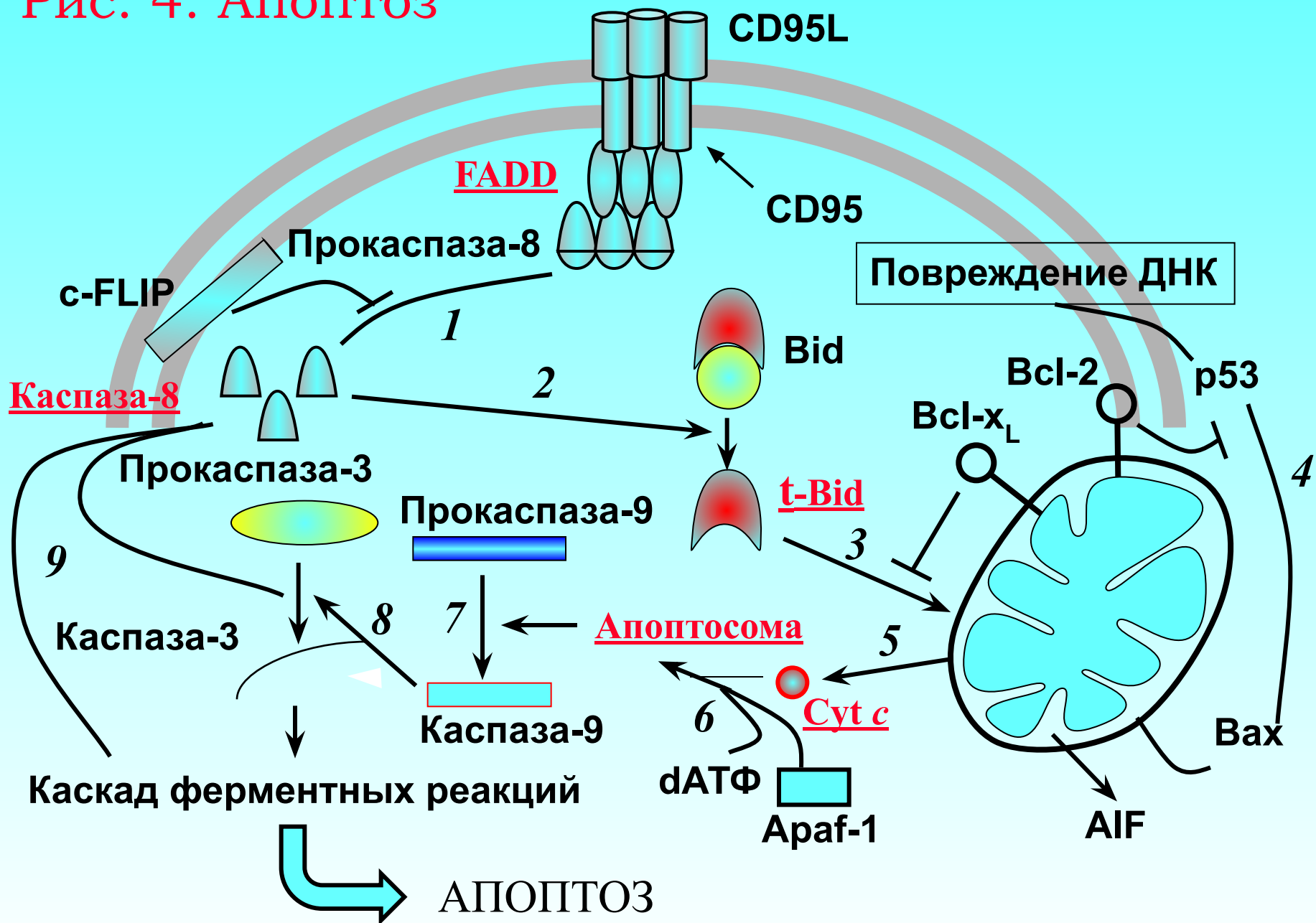
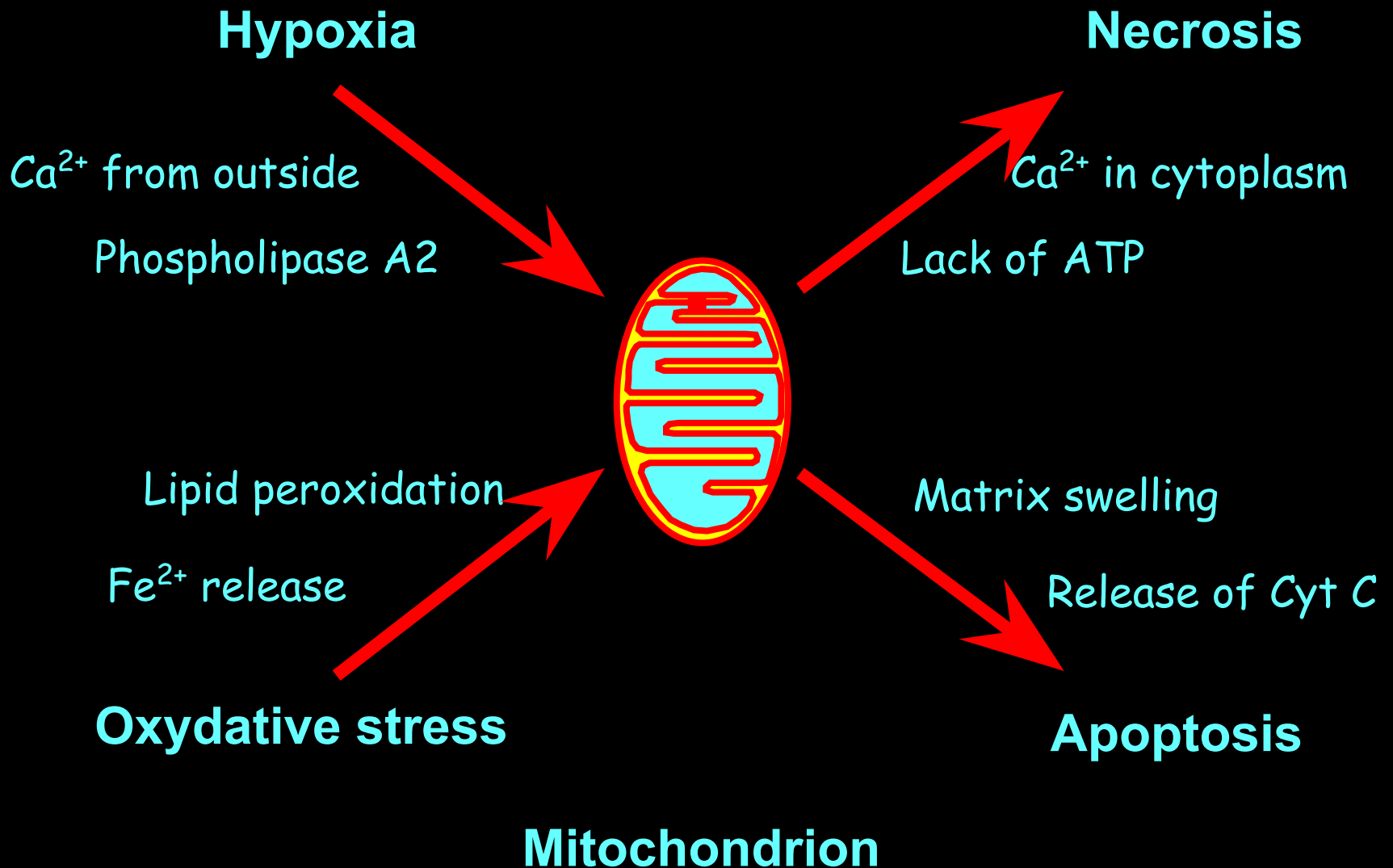


Рис. 4. АПОПТОЗ

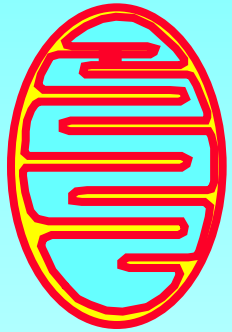


Mitochondrion is a target and a source of injury



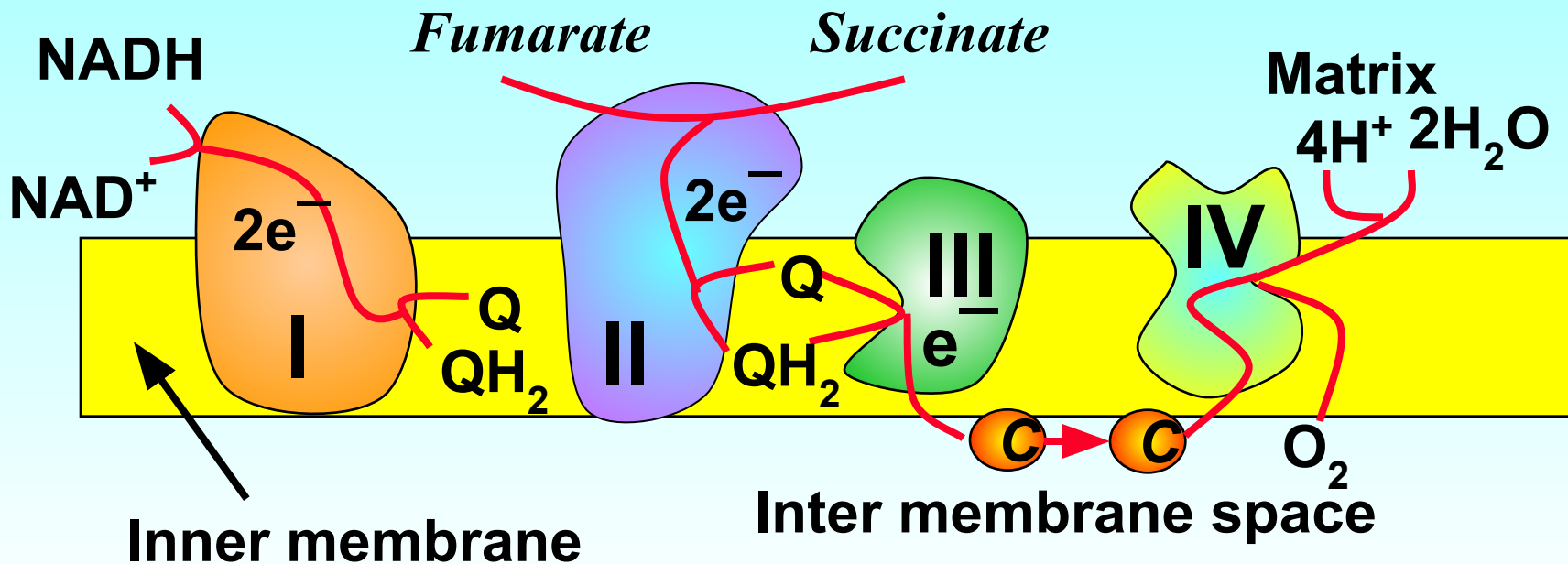
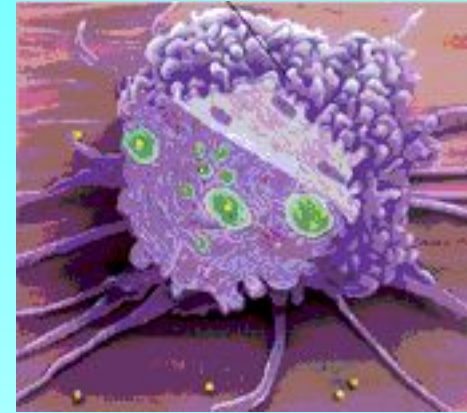
Superoxide manufacturers in the cell

1. NADPH oxidase in plasma membrane
2. Respiratory chain in mitochondria

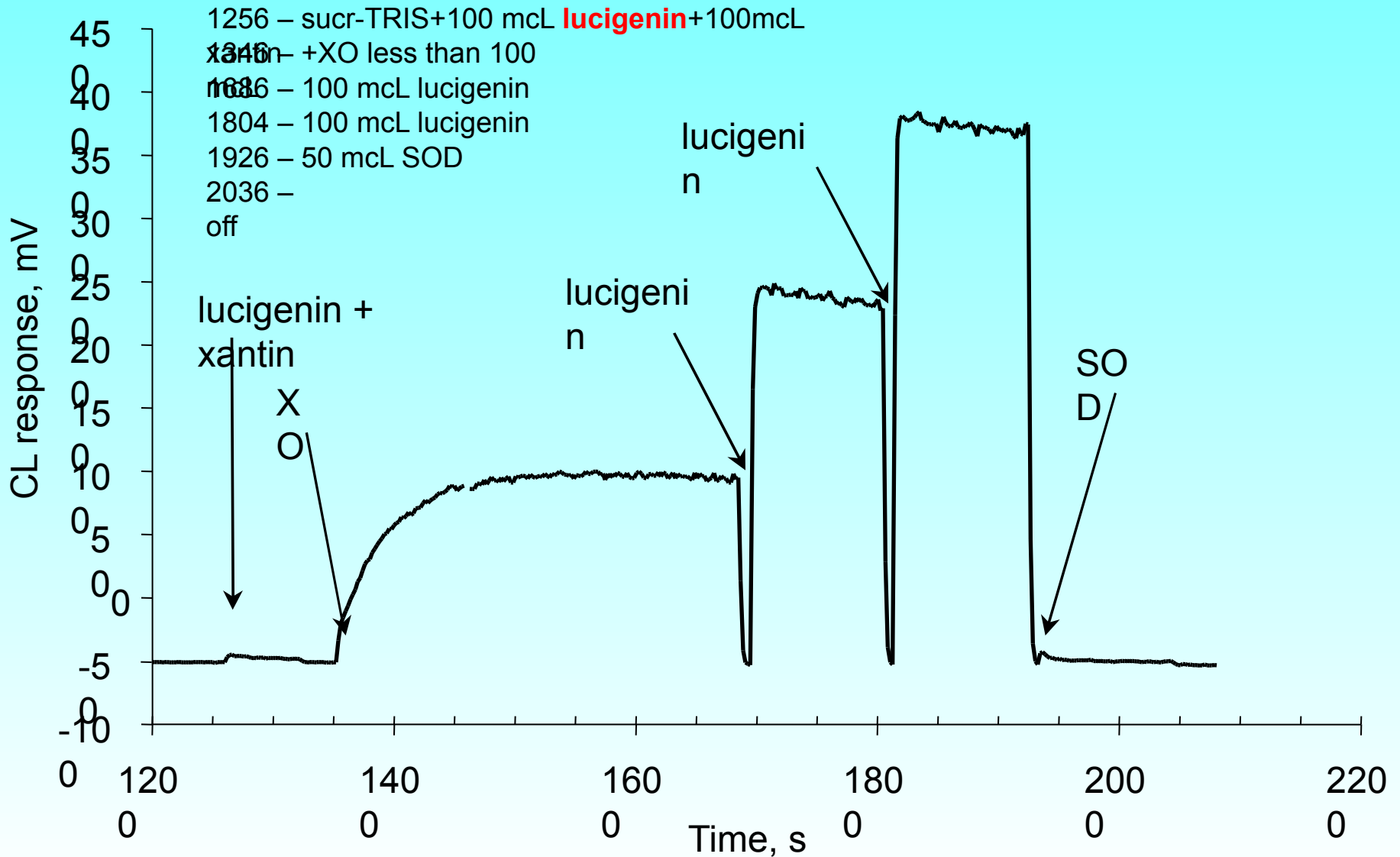


Mitochondrion

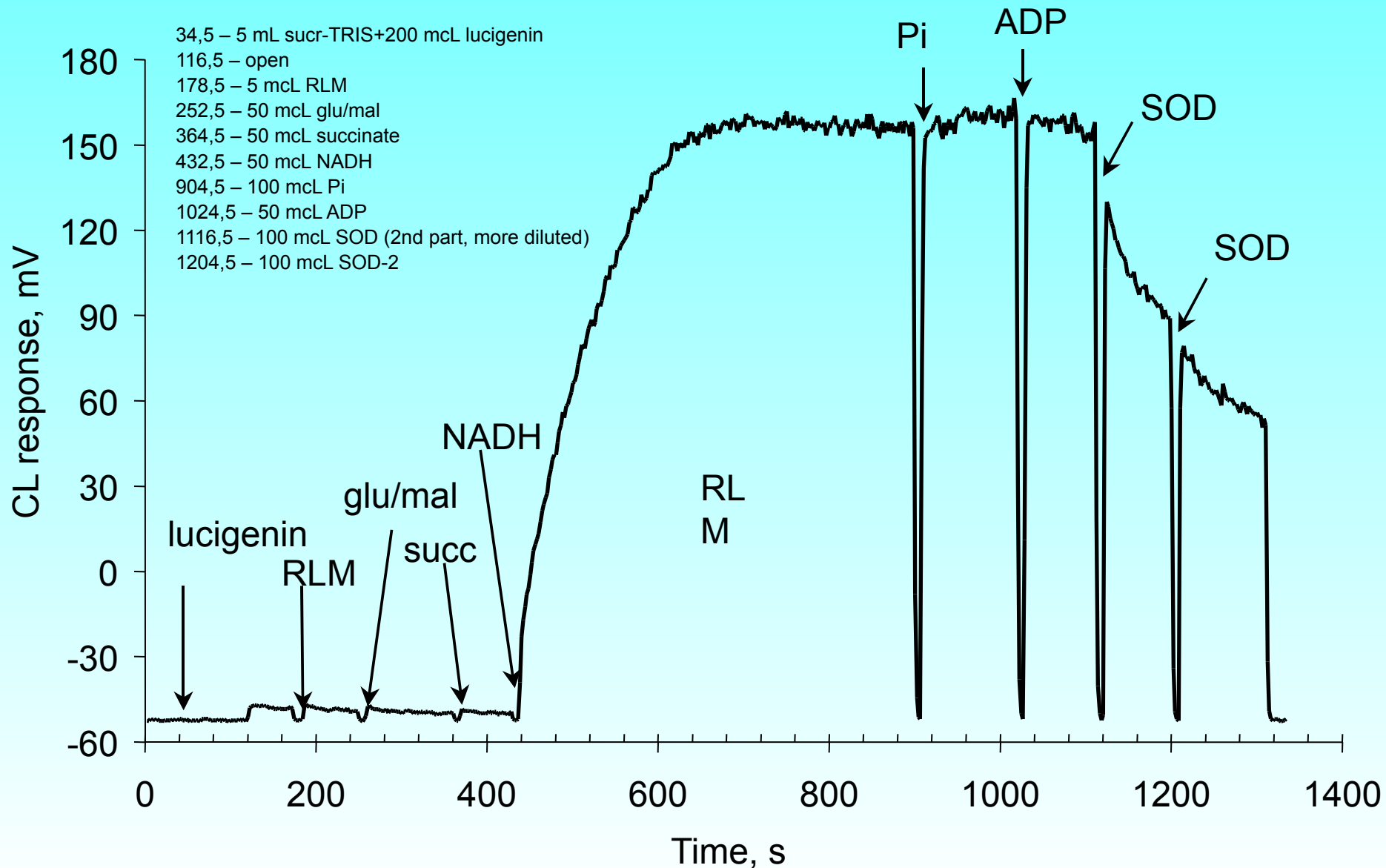
Phagocyte



Lucigenin is an adequate CL-probe for superoxide.

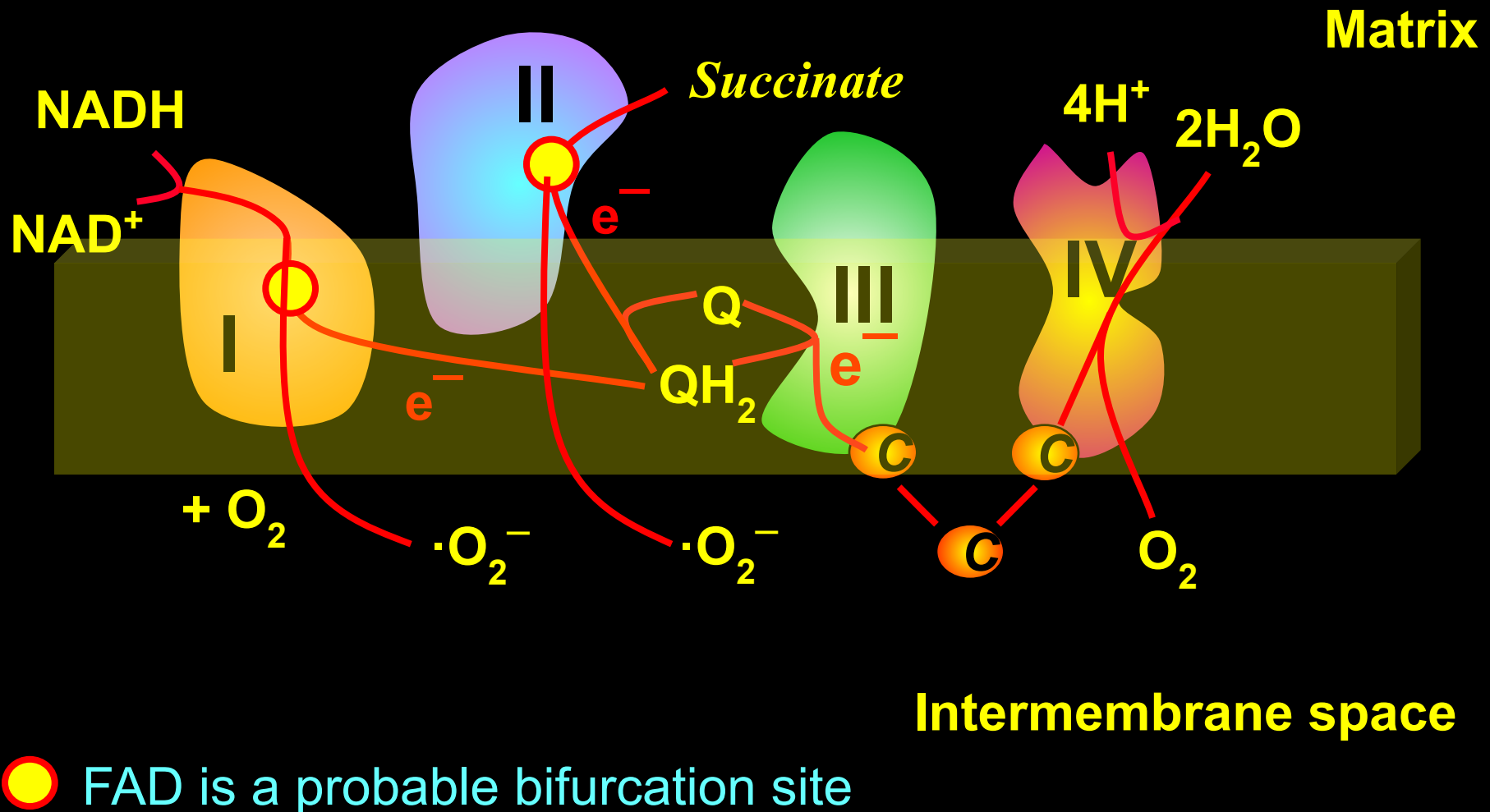


NADH is the best substrate for $\cdot\text{O}_2^-$ production.

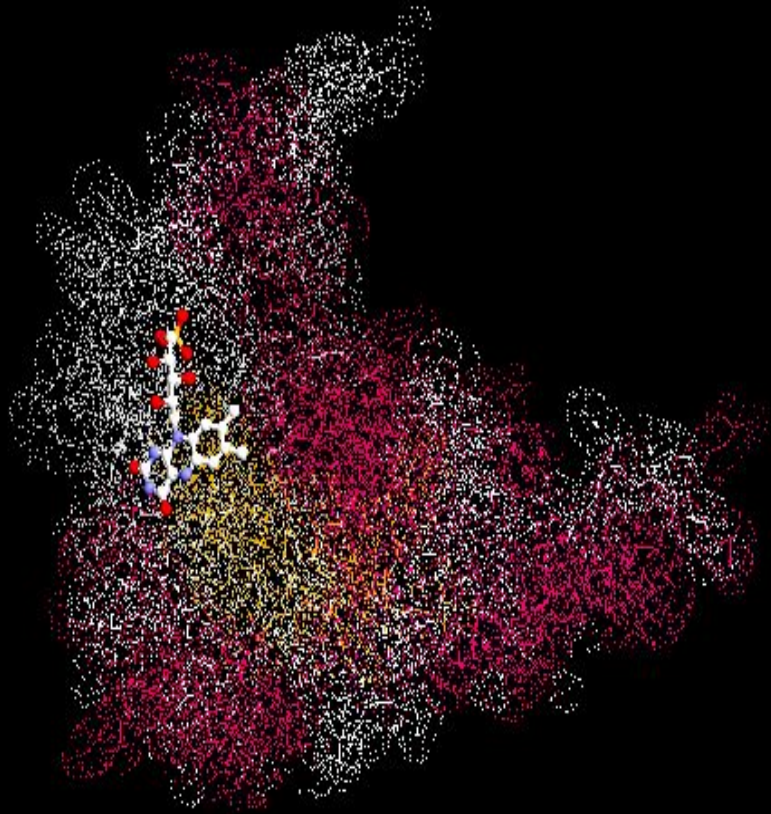


Kinetic control of superoxide production

There are at least two mechanisms regulating the bifurcation of electron fluxes: kinetic and structural.



NADH oxidase

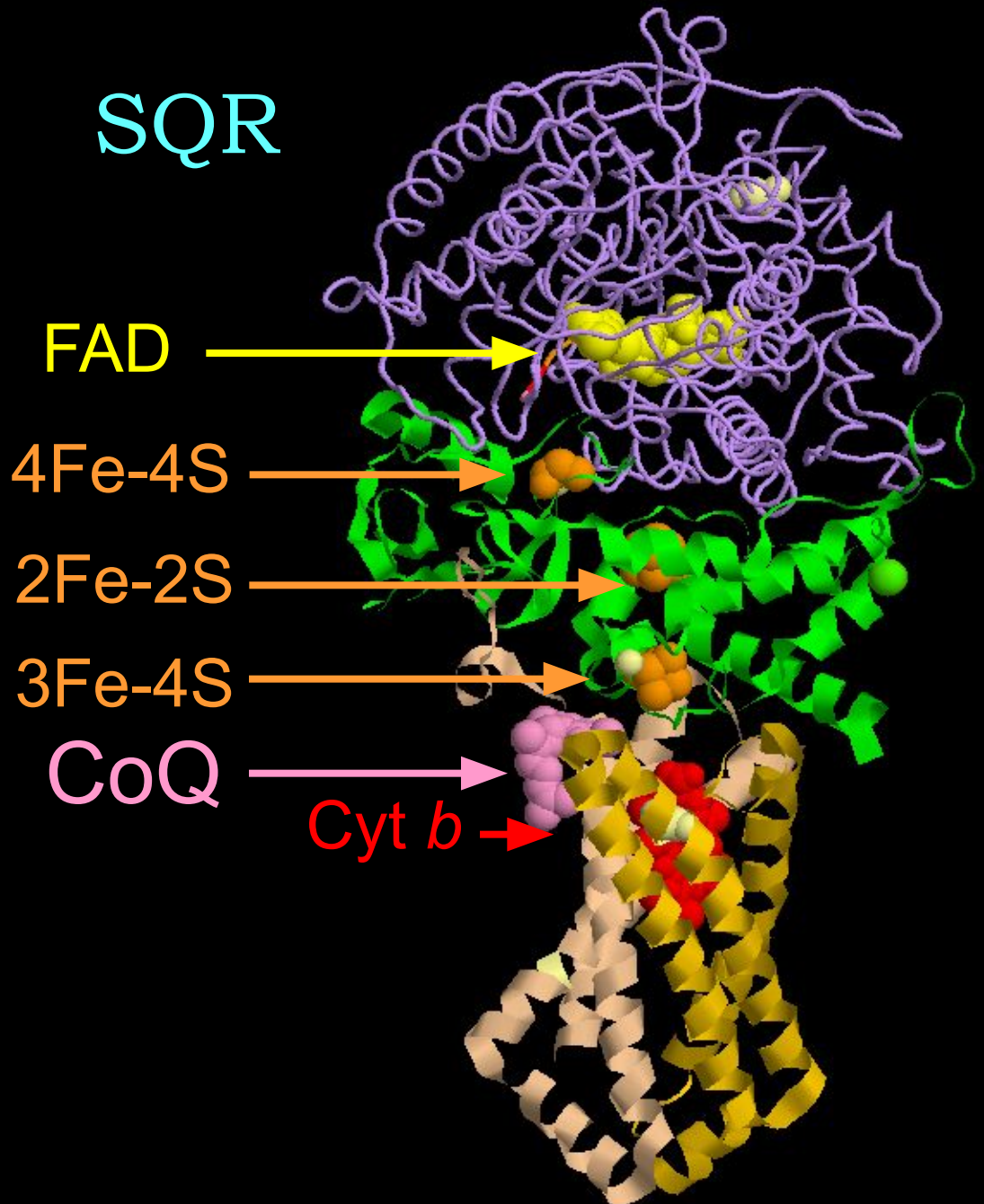


NAD(P)H – FMN
oxidoreductase



SQR

E. Coli Succinate Dehydrogenase (SQR) is an analog of mammalian respiratory Complex II



Manifestations of mutations in SQR gene in eukaryotes

Clinical phenotypes:

1. Optic atrophy
2. Tumor formation
(paraganglioma, pheochromocytoma)
3. Myopathy
4. Encephalopathy

P. Rustin, A. Roetig, *Biochim. Biophys.*

Acta **1553**, 117 (2002) – a review.

T. Bourgeron *et al.*, *Nature Genet.* **11**, 144 (1995).

B. E. Baysal *et al.*, *Science* **287**, 848 (2000).

S. Niemann, U. Muëller, *Nature Genet.* **26**, 268(2000).

These disorders can be caused by oxidative stress produced by complex II

Метаболизм первичных радикалов

Владимиров, А., Три гипотезы о механизме действия лазерного облучения на клетки и организм человека, in Эфферентная медицина, С. Чикин (ред.), 1994, Институт Биомедицинской Химии РАМН: Москва. р. 51-66.

5 OONO (пероксинитрит) \longrightarrow Повреждение

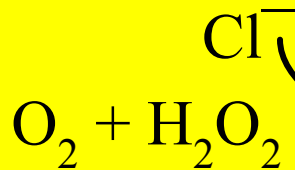
$\cdot\text{NO}$

1

Регуляция

$\cdot\text{OO}^-$

$\xrightarrow[2]{\text{SOD}}$



$\xrightarrow[3]{\text{миелопероксидаза}}$



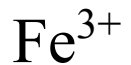
Защита

6

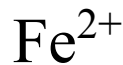
4

$\xrightarrow[\text{peroxidases}]{\text{catalase}}$

Детоксикация H_2O_2



7



8



9

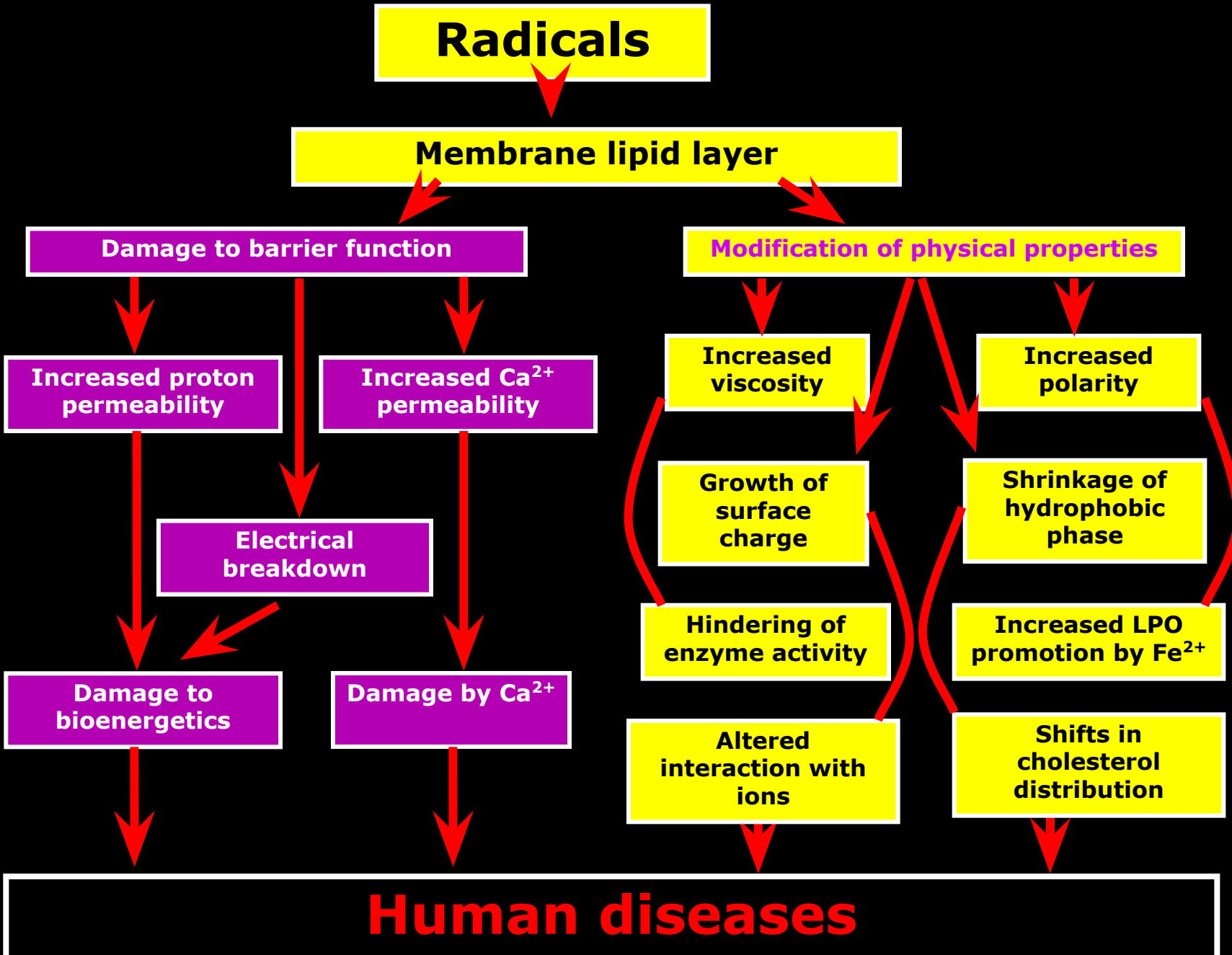


10

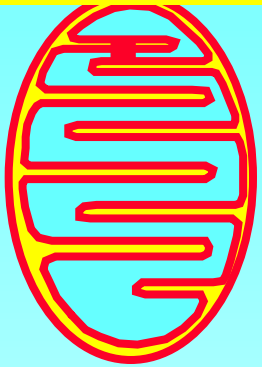


Повреждение

Damage to biomembranes resulting from lipid peroxidation



How we created and measured the membrane potential in mitochondria?



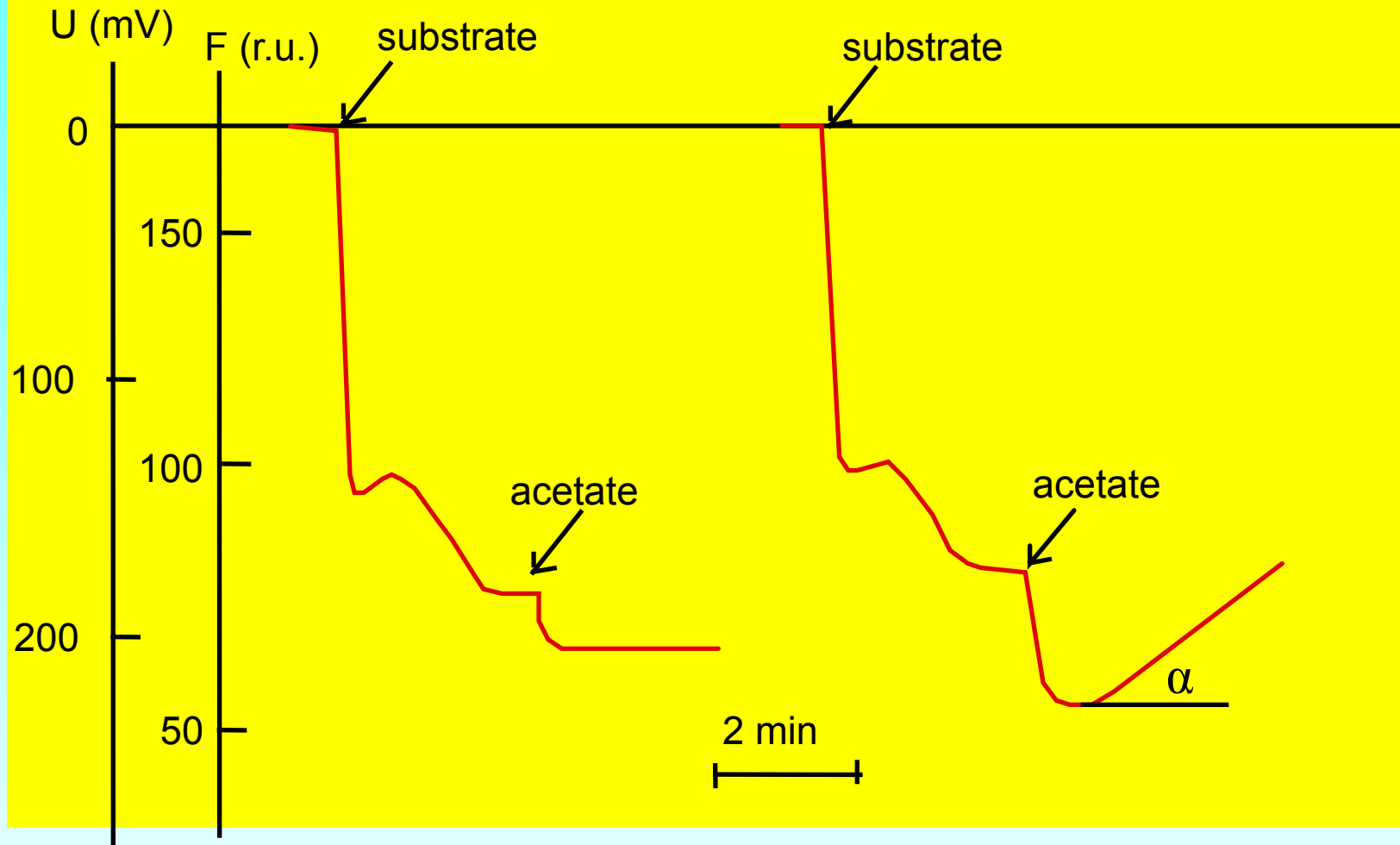
Inner mitochondrial membrane generates potential difference ($\Delta\phi$) and pH difference (ΔpH) between bathing solutions, in the presence of respiration substrates and oxygen.

- $$\Delta\mu_{\text{H}^+} = RT\Delta\ln[\text{H}^+] + zF\Delta\phi$$

Upon addition of permeable acid (e.g. acetic acid) ΔpH would decrease and hence $\Delta\phi$ would increase.

The fluorescence probe was used to measure the membrane potential ($\Delta\phi$).

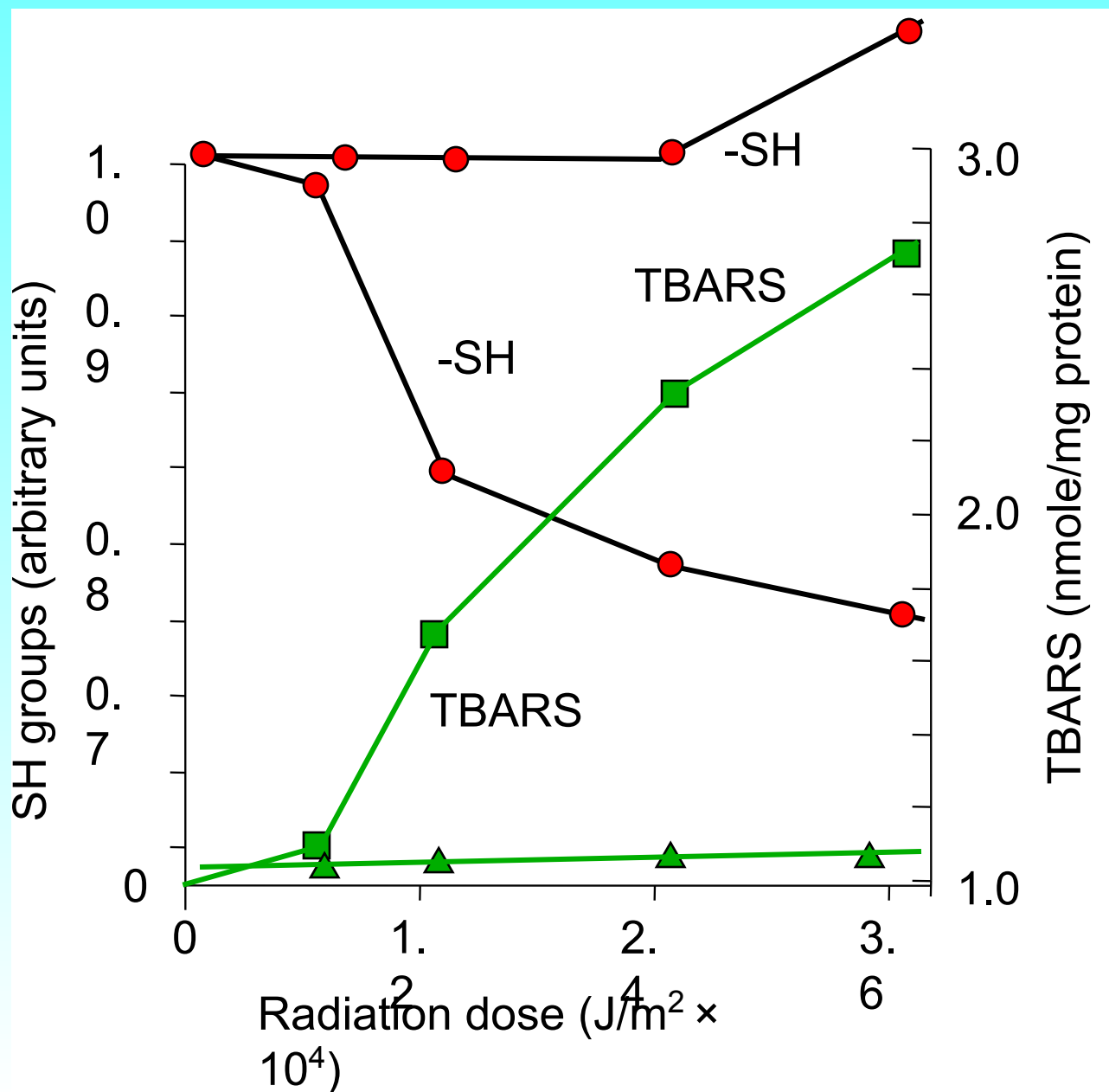
Electrical Breakdown in Mitochondria



Being penetrative, acetic acid neutralizes ΔpH on the membrane, so increasing $\Delta\phi$ component of the proton-motive force. It is seen in the left part of the figure that potential is stable, as far as it does not exceed 200 mV.

If it does, the breakdown takes place which leads to a gradual decrease of membrane potential; $\tan \alpha$ can serve as a measure of the membrane damage by the breakdown.

Dose-effect curves of SH group



Permeability transition pore

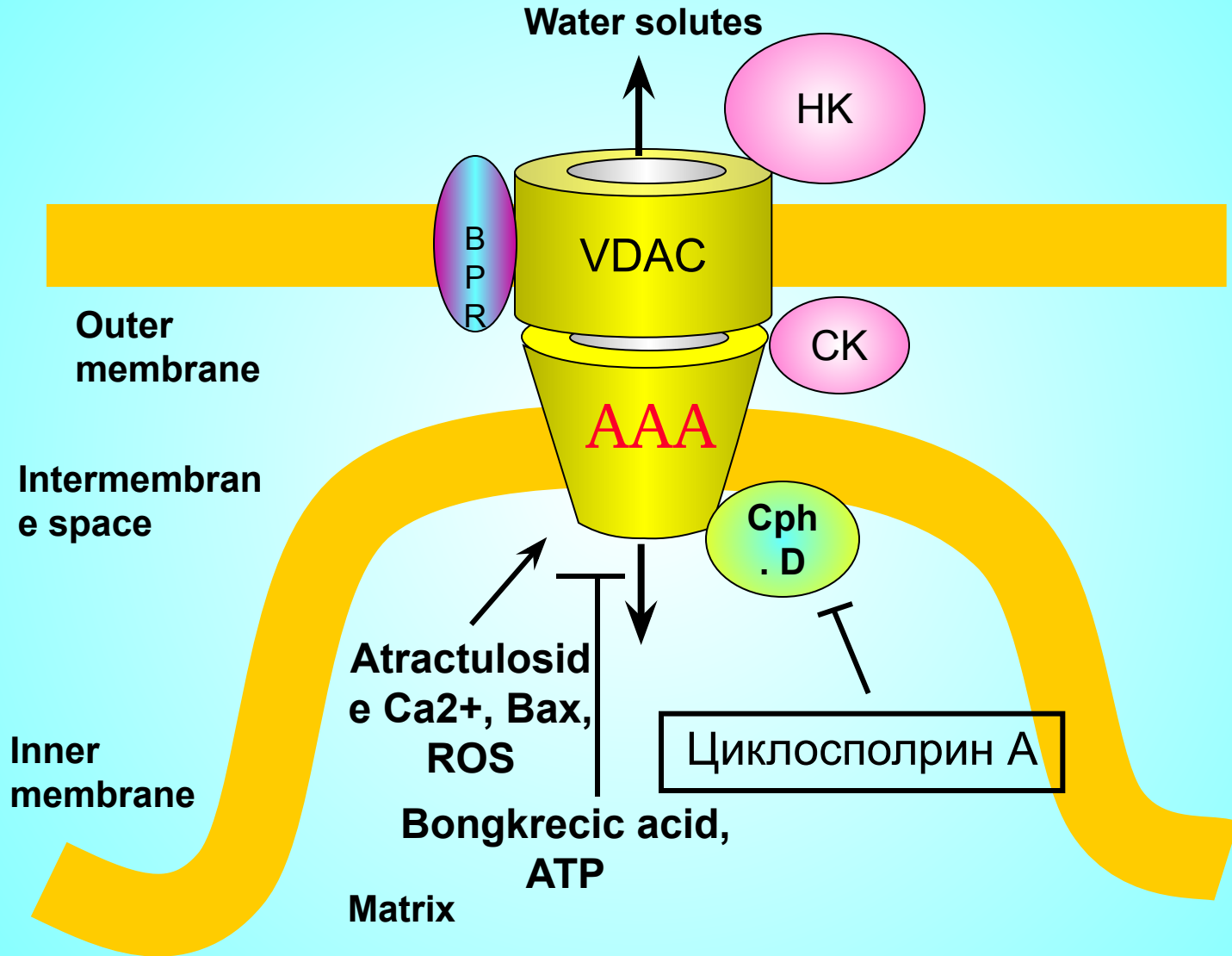
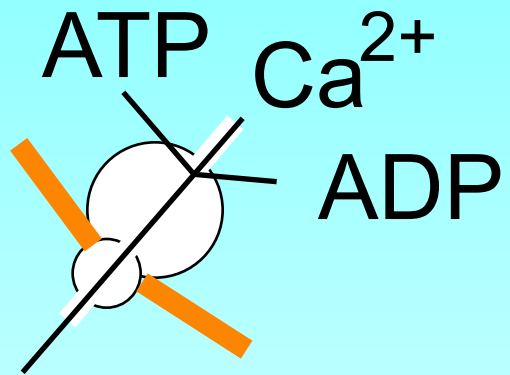
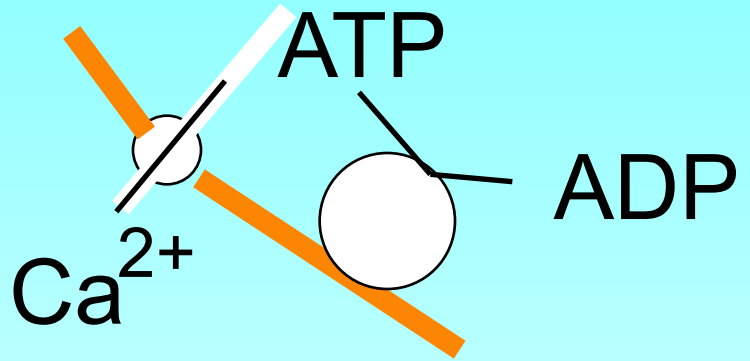


Fig. 6. Damage to Ca^{2+} ATPase under lipid peroxidation

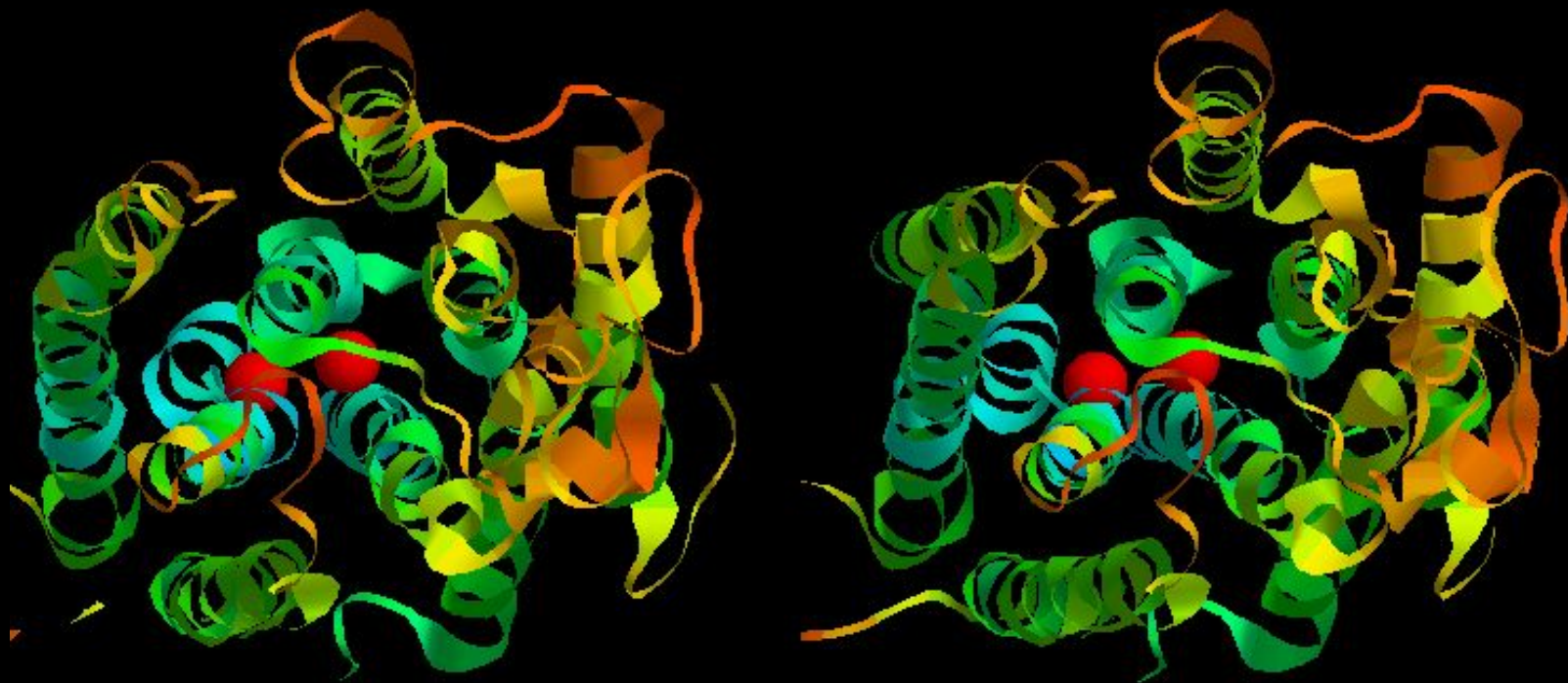


Native
Ca-ATPase



Damaged
ATPase

Ca-АТФаза снизу (стерео)



Ca-АТФаза

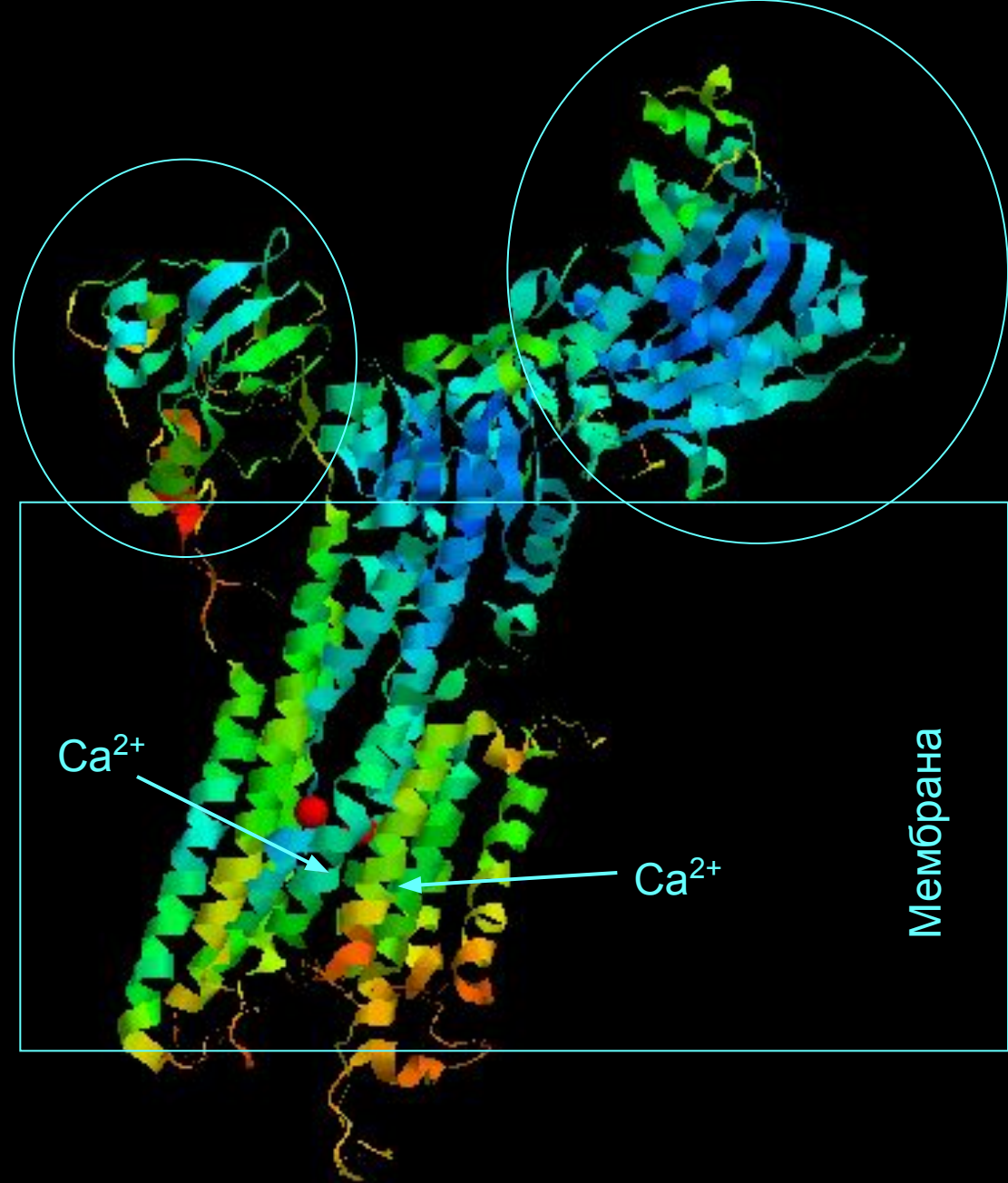
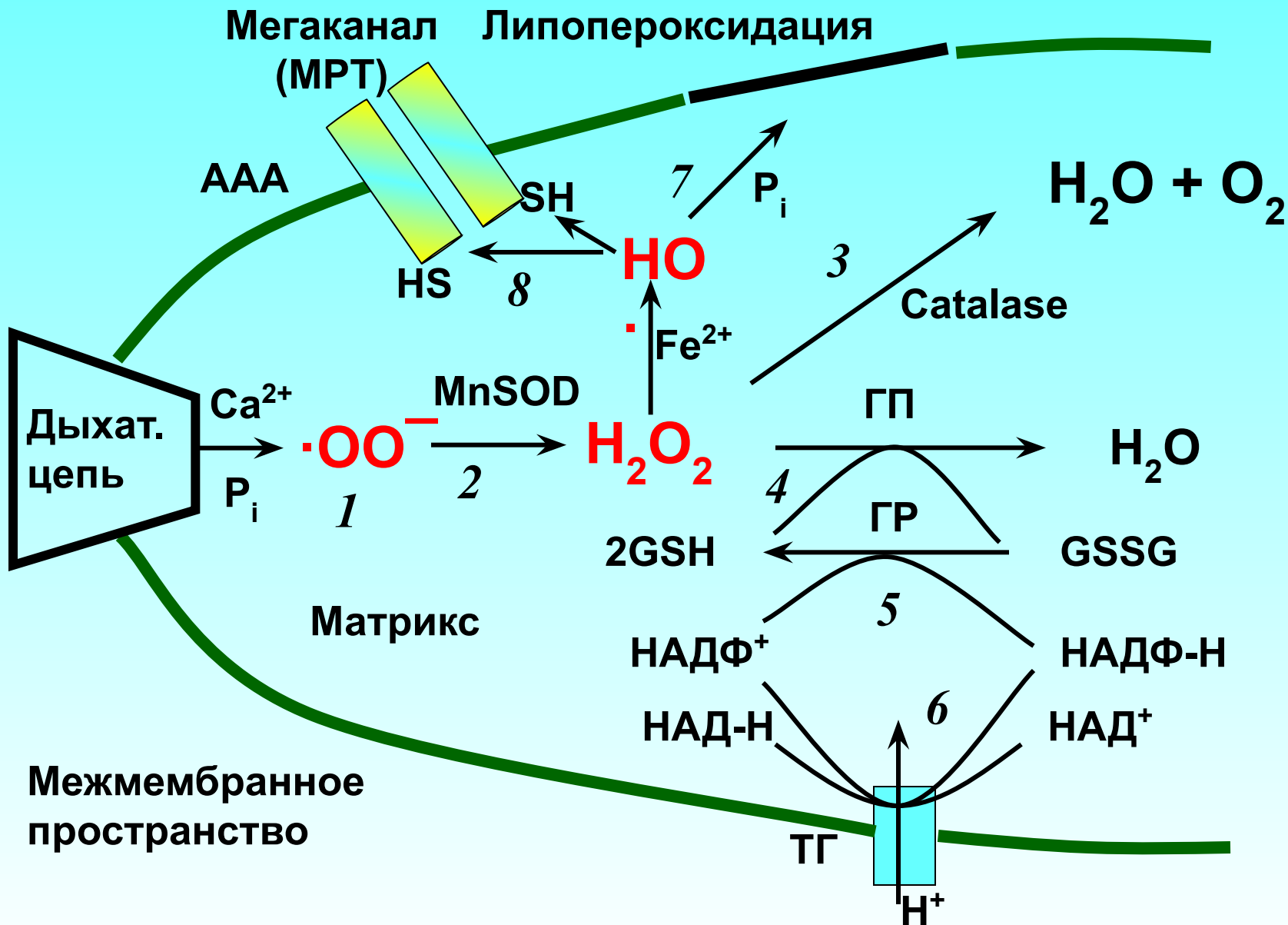
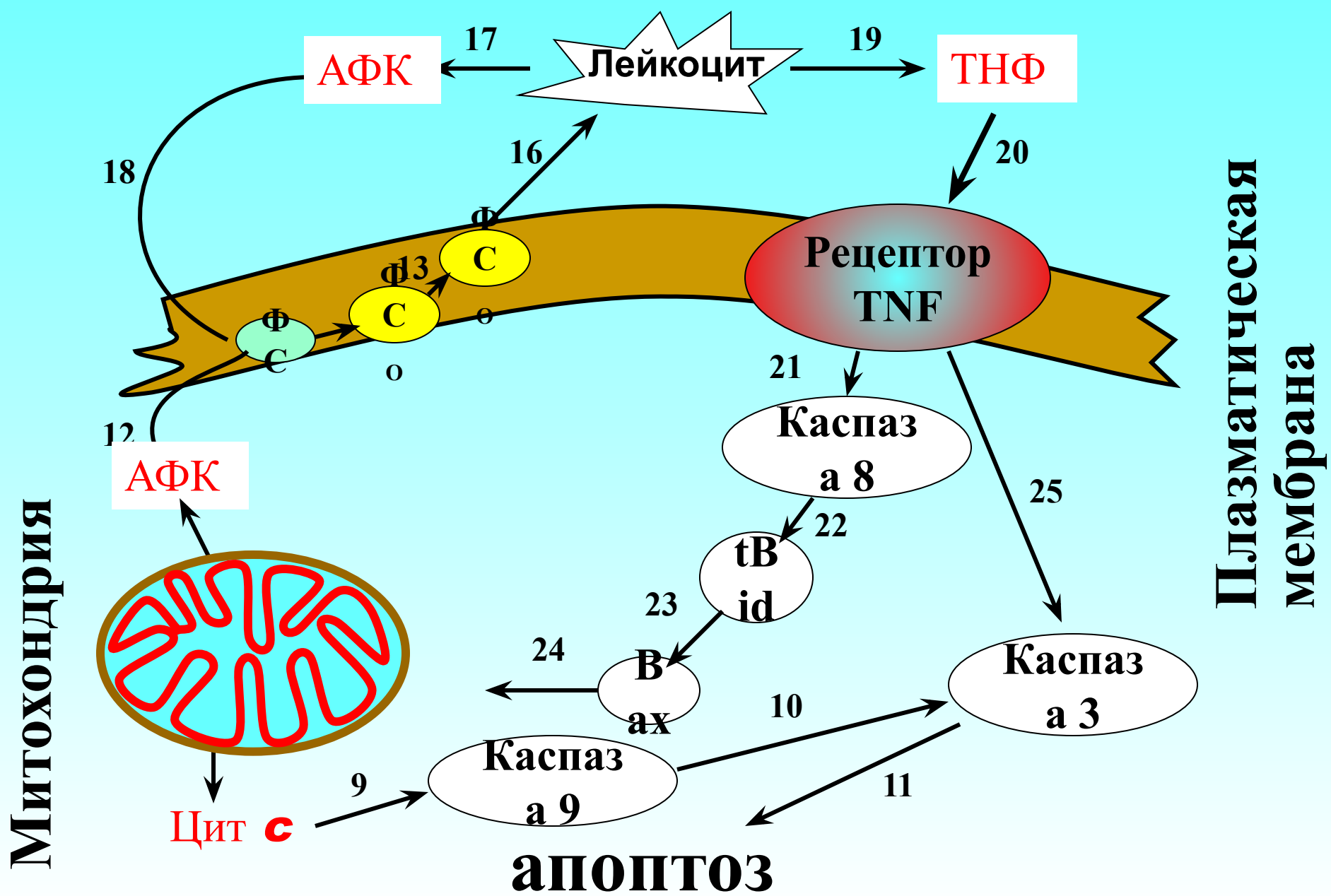


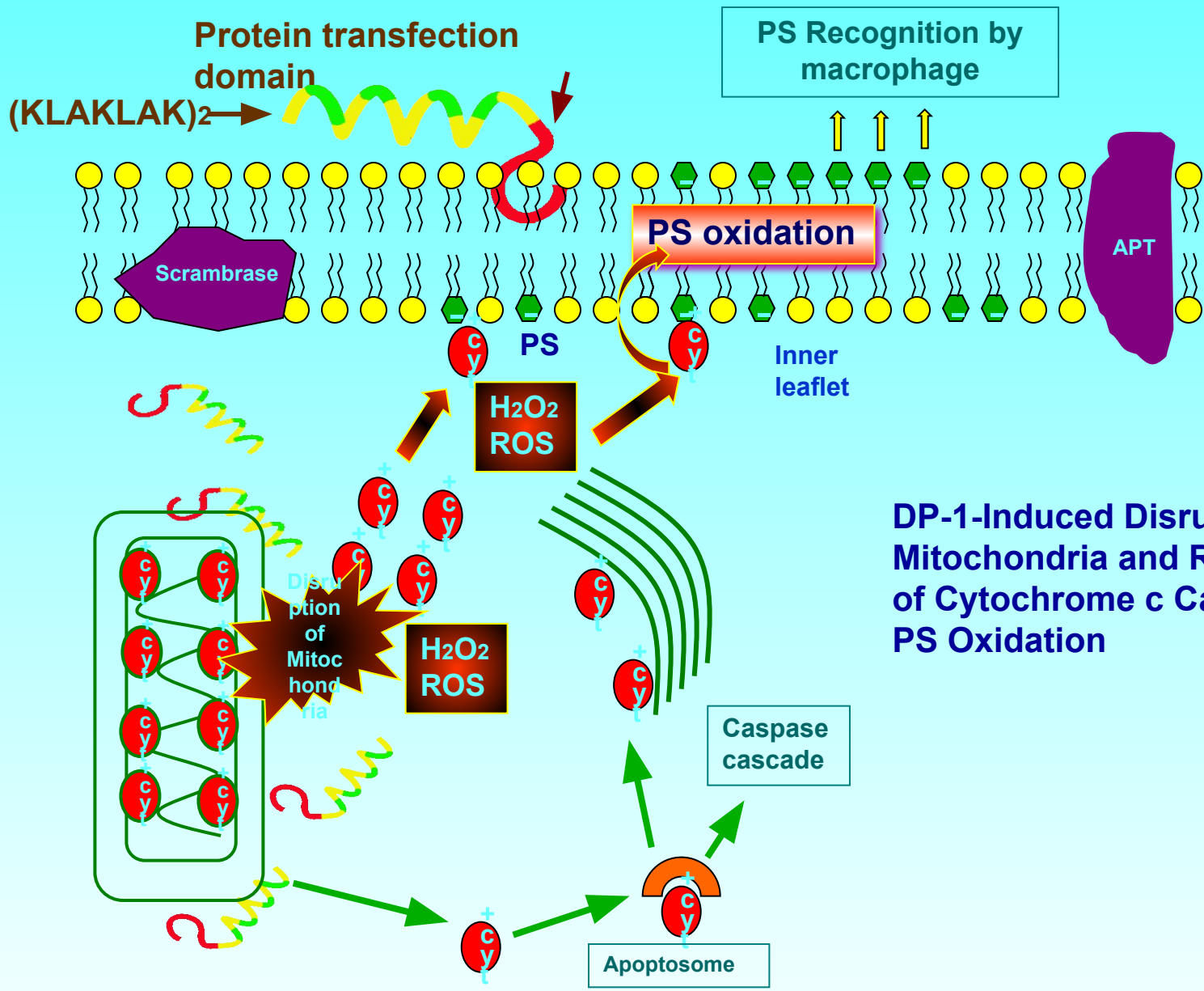
Рис. 5. Роль АФК в апоптозе



Радикалы,
клеточная
мембрана и
апоптоз

Передача апоптозных сигналов (по В. П. Скулачеву)





DP-1-Induced Disruption of Mitochondria and Release of Cytochrome c Causes PS Oxidation

